Теоретические и экспериментальные методы исследования в химии

Лекции –18 ч.
Практические занятия – 18 ч.
(2 контрольные работы, семестровое задание)

РЕЙТИНГОВЫЙ КОНТРОЛЬ

Наименование работ (кол.)	Баллы	∑ интервал баллов
Контрольные (2) Семестровая (1)	11, 15, 18 19, 21, 24	22 – 36 19 – 24
Экзамен	-	20 – 40
Σ	-	61 – 100

Рекомендуемая литература

- 1. М. ОТТО. Современные методы аналитической химии 2006. М.: Техносфера. 543 с.
- 2. Л.А. Казицина, Н.Б. Куплетская. Применение УФ-, ИК-, ЯМР- и массспектроскопии в органической химии. – 1979. М.: МГУ. – 236 с.
- 3. Б.С. Орлинсон. Применение УФ-, ИК-, ЯМР- и масс-спектроскопии для исследования органических соединений. Учебное пособие. 2001. Волгоград: РПК «Политехник». 103 с.

СПЕКТРОСКОПИЧЕСКИЕ МЕТОДЫ АНАЛИЗА. ОСНОВЫ СПЕКТРОСКОПИИ.

Диапазон электромагнитного спектра

- от радиоволн с λ > 0,1 см
- до γ -излучения с $\lambda > 10^{-11}$ м

<u>Скорость распространения электромагнитного</u> излучения зависит от среды

$$c = v \cdot \lambda$$

- на воздухе скорость света уменьшается на 0,03 %, т.к. ν const, то изменяется λ (вследствие периодической поляризации атомов и молекул)
- для практических целей $c = 3.10^8$ м/с.

Взаимосвязь спектроскопических методов и областей электромагнитного спектра

Метод	Диапазон длин волн (частоты)	Изменение энергии
Ядерно-физические	0,005 – 1,4 Å	Ядра
Рентгеновские	0,1 – 100 Å	Внутренние электроны
УФ-вакуумный	10 – 180 нм	Валентные электроны
УФ-спектрометрия	180 – 400 нм	Валентные электроны
Фотометрия	400 – 780 нм	Валентные электроны
ИК-ближняя	780 – 2500 нм	Колебания молекул
ИК-средняя	4000 – 400 см-1	Колебания, вращения молекул
ИК-дальняя (микроволновая)	0,75 – 3,75 мкм	Вращение молекул
ЭПР	~3 см	Неспаренные электроны в магнитном поле
ЯМР	0,6 – 10 м	Ядерные спины в магнитном поле

Преломление света

$$n = \frac{c}{V}$$

с – скорость распространения света в вакууме

v – скорость распространения света в среде

n – показатель преломления зависит от длины волны излучения

<u>Изменение п от λ называется дисперсией.</u>

Для воздуха абсолютное значение

$$n = 1,0003$$

Относительный показатель

$$n = \frac{V_{\text{возд.}}}{V_{\text{среда}}}$$

$$\frac{\sin \alpha}{\sin \beta} = \frac{n_2}{n_1} = n_2$$

Для жидкостей эта величина от 1,3 до 1,8.

(т.к. n_1 для воздуха ~ 1; n_2 – более плотная среда)

Для твердых тел – до 2,5. Точность до 0,001.

Принципиальная блок-схема оптического спектрометра



Источник изучения

(для непрерывного спектра)

ОБЛАСТЬ СПЕКТРА	ИСТОЧНИК ИЗЛУЧЕНИЯ
УФ-вакуумная	Аргонные, ксеноновые лампы
УФ-спектрометрическая	Ксеноновые, водородные, дейтериевые лампы
Фотометрия	Вольфрамовые, галогеновые лампы
ИК-ближняя	Вольфрамовые лампы, штифты Нернста, нихромовые излучатели, глобары
ИК-основная	Штифты Нернста, нихромовые излучатели, глобары.

Дисперсия и разрешающая способность монохроматора

Линейная
$$D = \frac{dy}{d\lambda}$$

Обратная
$$\frac{1}{D} = \frac{d\lambda}{dy}$$

Разрешающая способность (R)

[HM/MM; Å/MM]

$$R = \frac{\lambda}{\Delta \lambda}$$

 $R = \frac{\Lambda}{\Delta \Delta} = \frac{\lambda - \text{средняя длина волны 2-х линий;}}{\Delta \lambda - \text{разность этих длин волн;}}$

Для призмы:

$$R=brac{dn}{d\lambda}$$
 b – ширина основания призмы;

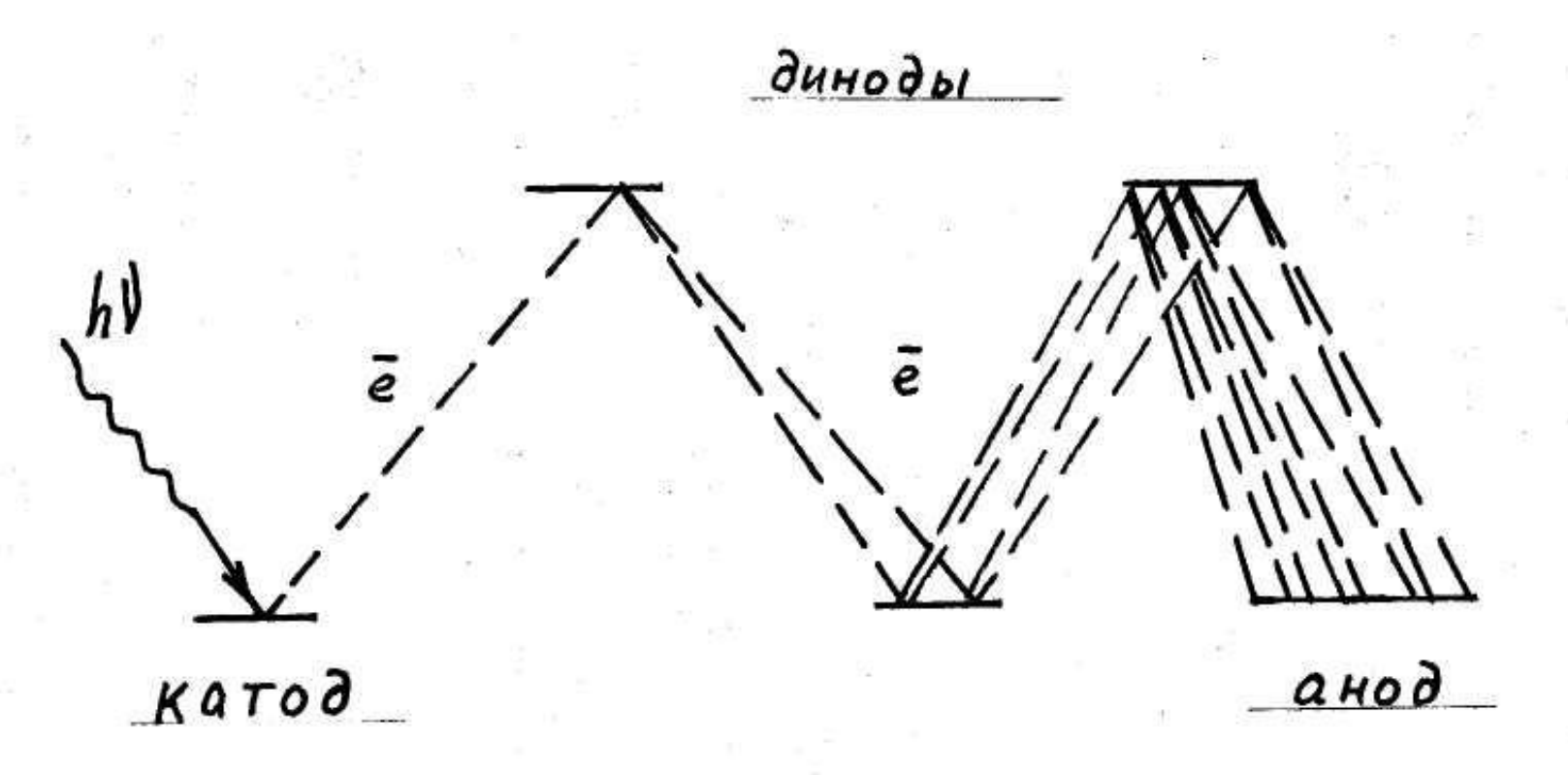
Для дифракционной решетки:

$$R = \frac{\lambda}{\Lambda \lambda} = mN$$

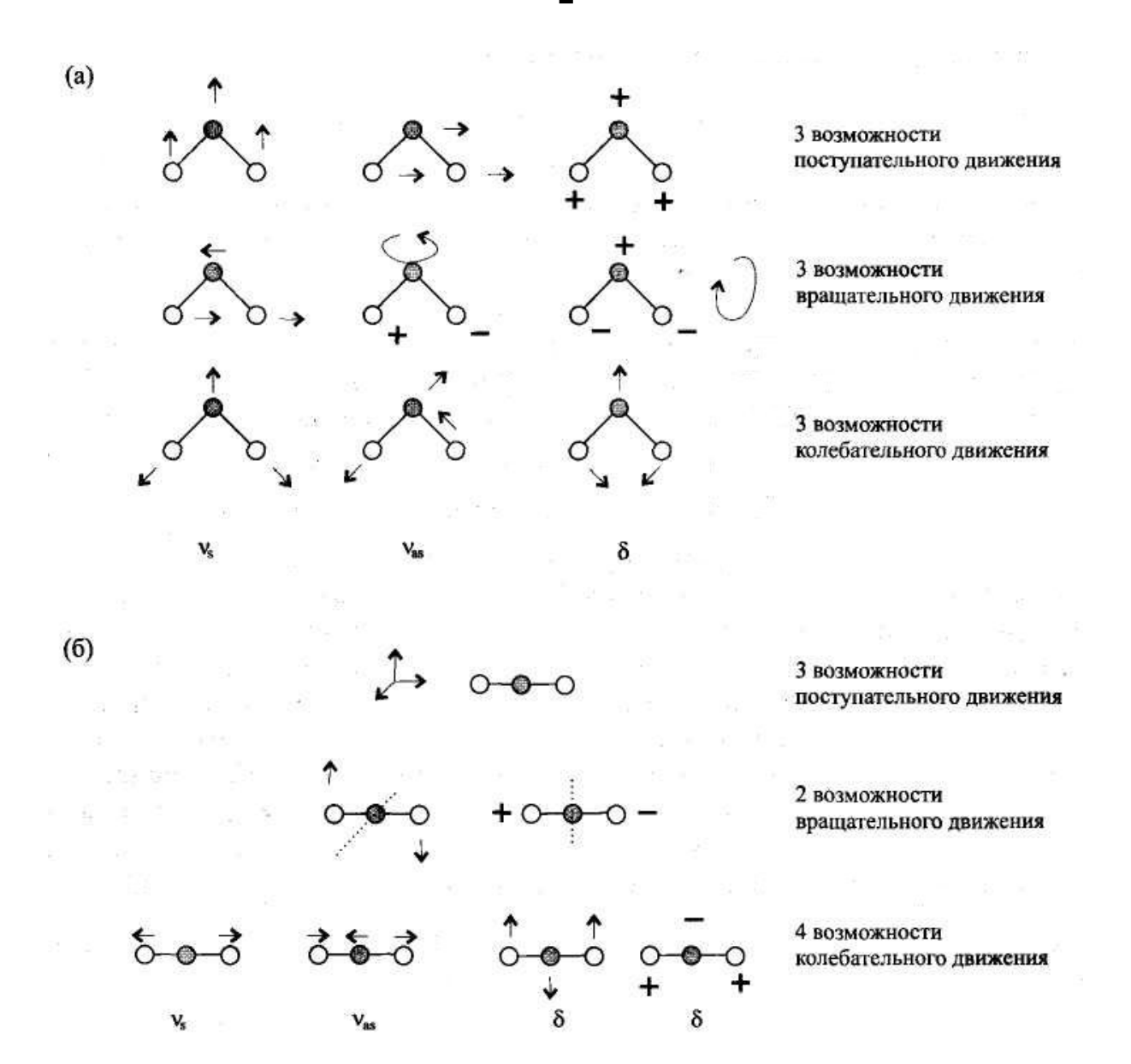
 $R = \frac{\lambda}{N} = mN$ N - число штрихов;

Приемники излучения.

Фотоэлектронный умножитель



ИК-спектроскопия



$$v = \frac{1}{2\pi c} \sqrt{\frac{k}{\mu}}$$

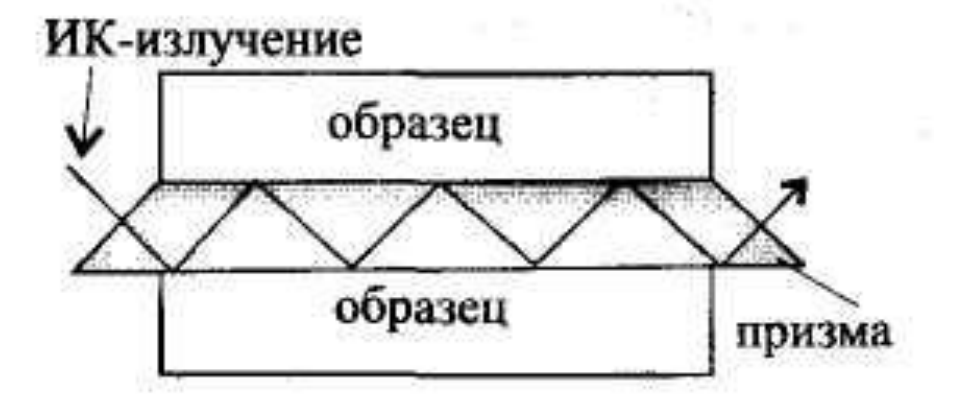
v- частота характеристического колебания;

 $\pi - 3,14$;

с – скорость света в вакууме;

к – модуль упругости химической связи;

 μ – приприведенная масса молекулы $m_1 m_2 \over m_1 + m_2$



<u>Источники излучения</u>

- ИК_{бп} 12800-4000 см⁻¹ (780-2500 нм) вольфрамовая лампа
- ИК_{дал.} 200-10 см⁻¹ (50-100 мкм) Нд-разрядные лампы
 ИК_{осн.} 4000-670 см⁻¹ (2,5-15 мкм) глобар (SiC) 1350°C

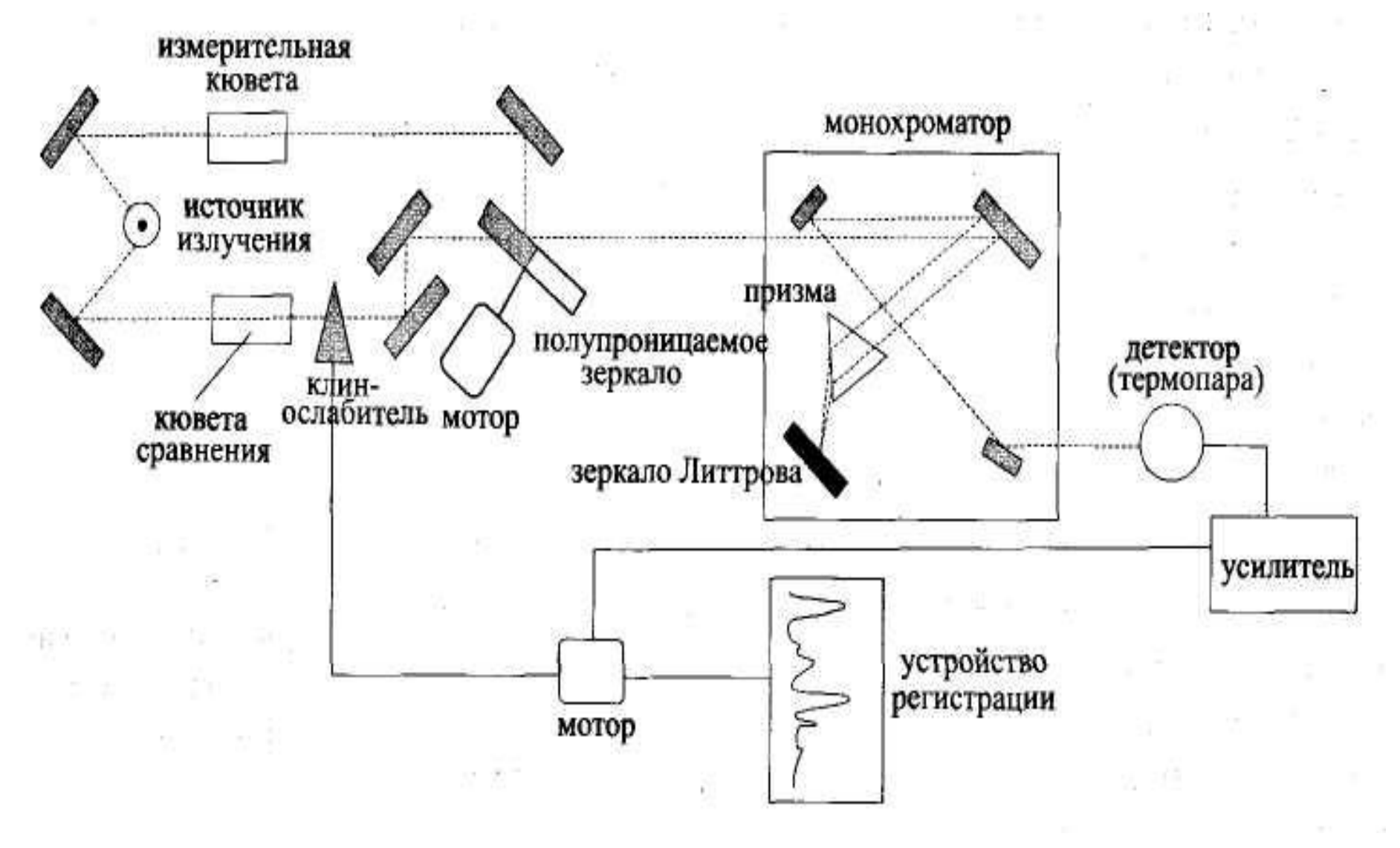
Штифт Нернста

смесь окислов иттрия, тория, циркония) −1900 °C, нихром – до 800 °C

<u>Монохроматоры</u>

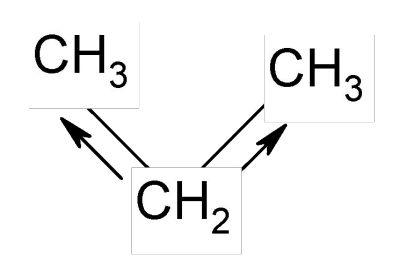
Кварц 0,16 – 2,8 мкм NaCl 2,5 – 15 мкм **КВr** 12 – 25 мкм CsJ 20 - 50 MKM **LiF2 – 6 MKM**

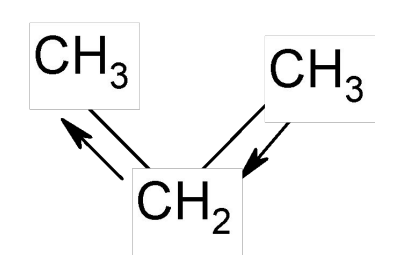
Устройство ИК-спектрометра



Взаимодействие колебаний

Соотношение k для C–C, C=C, C≡C составляет 1:2:3

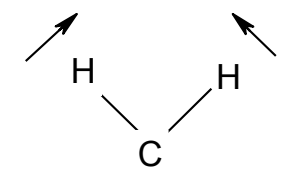


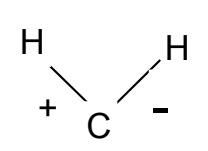


$$\delta_s = 868 \text{ cm}^{-1};$$

$$\delta_{as} = 1049 \text{ cm}^{-1}$$
.

Основные типы деформационных колебаний









ножничные

крутильные

веерные

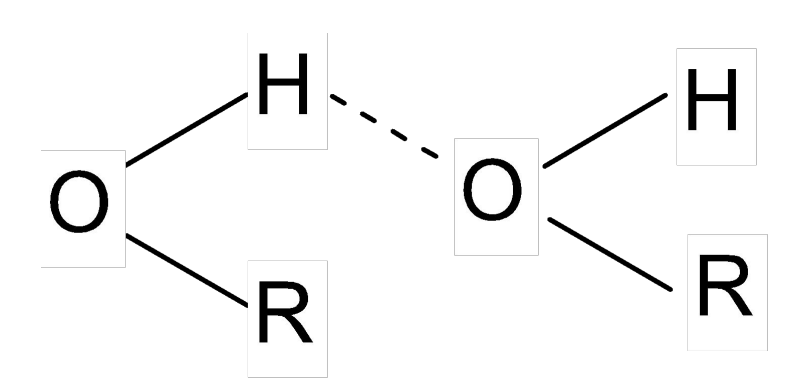
маятниковые

Факторы, влияющие на величины характеристических частот в ИК-спектрах

Агрегатное состояние:

- ацетон (газ), для C=O: 1742 см⁻¹
- ацетон (жидк.), для C=O: 1718 см⁻¹

Межмолекулярное взаимодействие



Внутримолекулярное взаимодействие

для $C=O v = 1691 cm^{-1}$

$$\begin{array}{c|c}
NH_2 \\
\hline
C \\
C \\
CH_3
\end{array}$$

«a» «б»

для $C=O v = 1677 cm^{-1}$

Для других заместителей в n-положении: CH₃ =1677 cm⁻¹; NO₂=1700 cm⁻¹; CI=1692 cm⁻¹;Br=1693 cm⁻¹

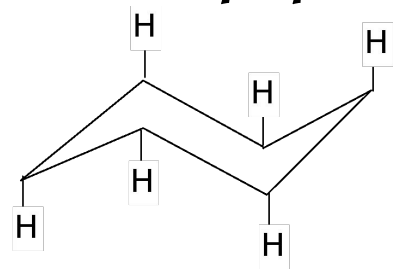


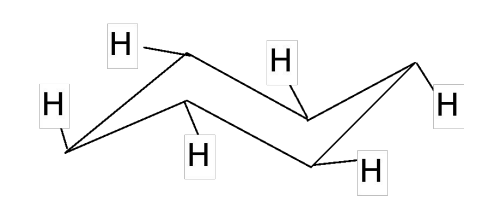
1646 см⁻¹



1566 см⁻¹

Конформационные эффекты

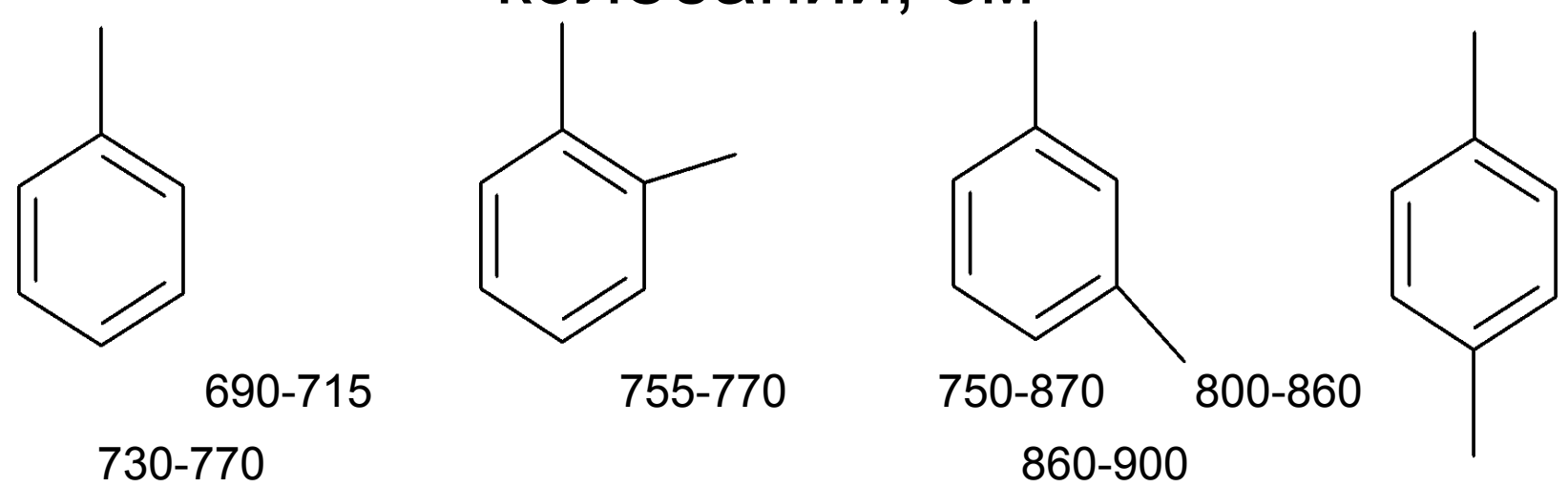




Типичные области поглощения в ИК-спектрах органических соединений

Колебания	Класс веществ	v, cm ⁻¹
С-Н, валентные	алифатические	2800-3000
С–Н, валентные	ненасыщенные	3000-3100
С=С, валентные	алкены	1630-1680
С=С, валентные	ароматические	1500-1600
С≡С, валентные	алкины	2100-2260
С-Н, деформационные	алкены, аромат.	700-1000

Частоты деформационных (веерных) колебаний, см⁻¹

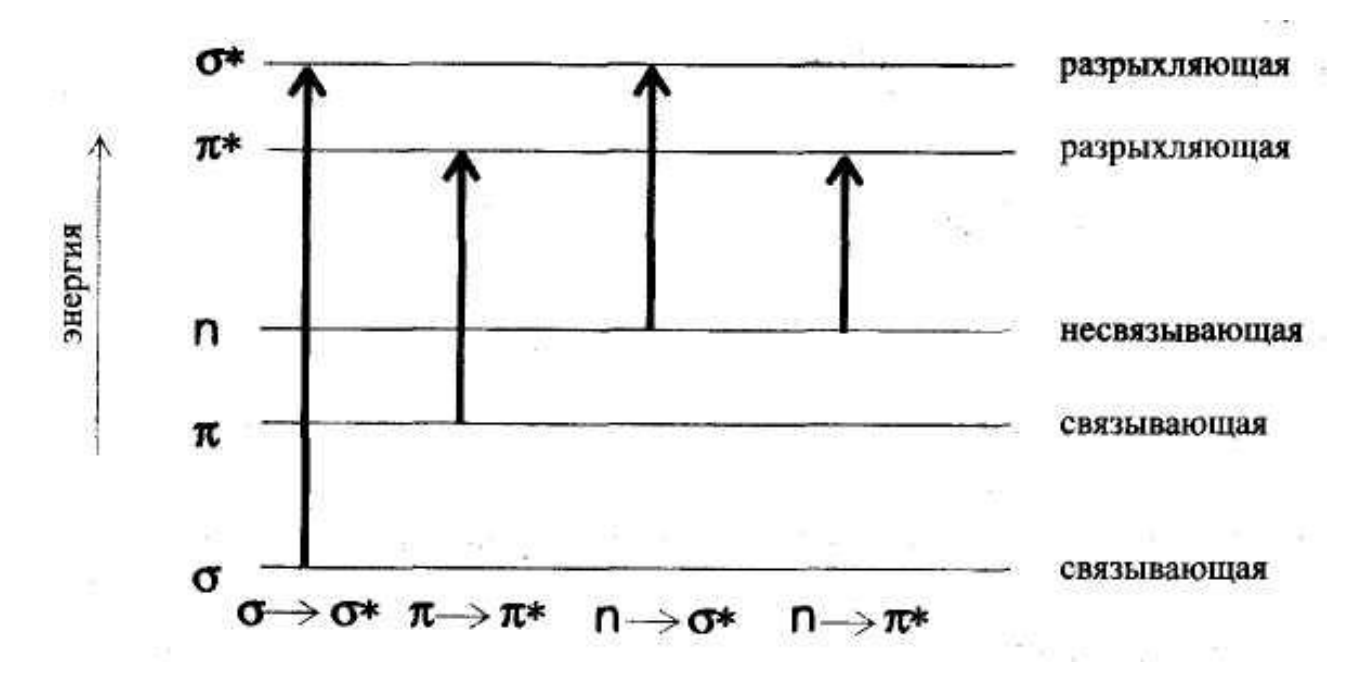


Частоты характеристических колебаний некоторых функциональных групп

Функциональная группа	v, cm ⁻¹	I
О–Н	3200-3650	~
N–H	3300-3500	cp.
C–O	1050-1300	сильн.
C=O	1690-1760	сильн.
NO ₂	1330-1370	сильн.

УФ-видимая спектроскопия

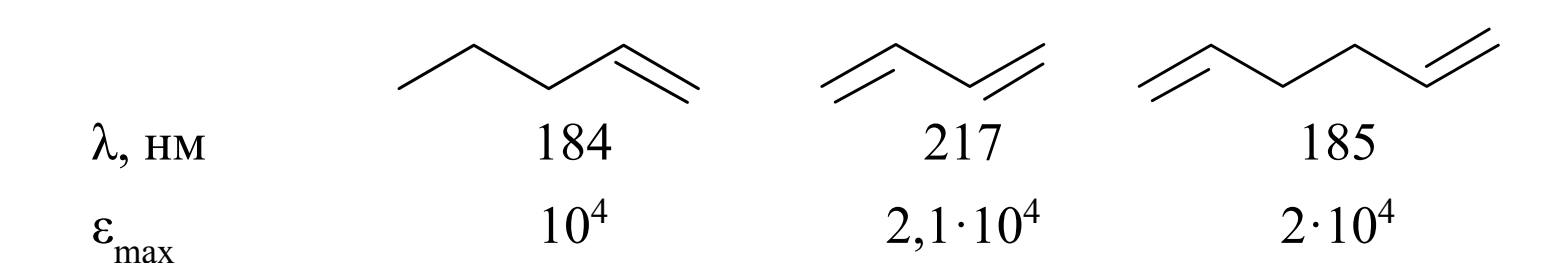
Поглощаемая длина волны, нм	Цвет	Дополнительный цвет
400-435	фиолетовый	желто-зеленый
435-480	синий	желтый
480-490	голубой	оранжевый
490-500	зелено-голубой	красный
500-560	зеленый	пурпурный
560-580	желто-зеленый	фиолетовый
580-595	желтый	синий
595-610	оранжевый	голубой
610-750	красный	зелено-голубой



Характеристики п→π* переходов для некоторых хромофорных групп

Группа	λ _{max} , HM	ε _{max} , л·моль ⁻¹ ·см ⁻¹
>C=N-	240	159
>C=O	280	20
-N=N-	350	12,6
>C=S	500	10
-N=O	660	20

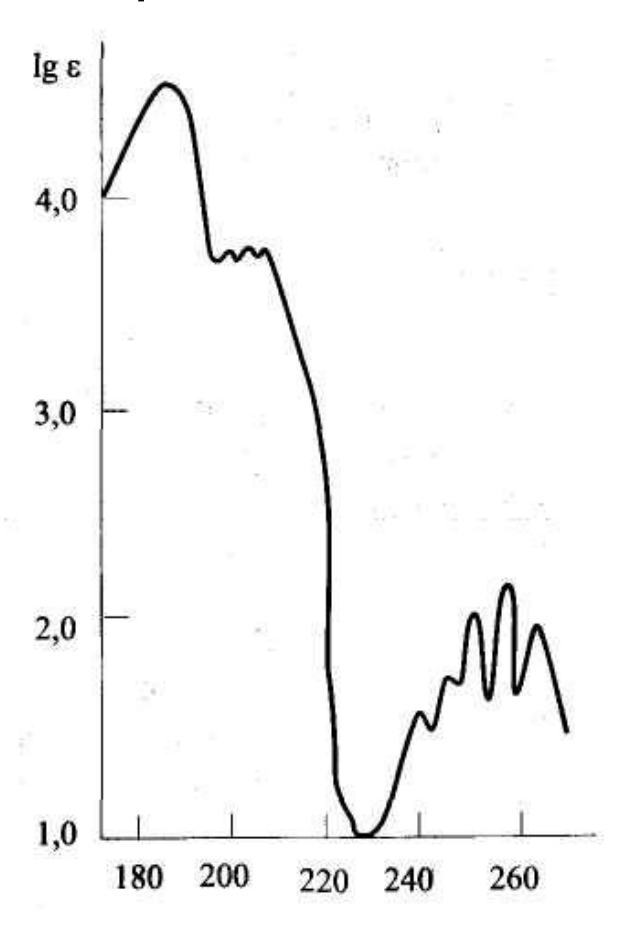
При сопряжении хромофорных групп батохромное смещение усиливается:



Границы использования некоторых растворителей

Растворитель	Граница прозрачности
н-Гексан	195
Этанол	200
Хлороформ	240

Спектр поглощения бензола в УФ-области.



Смещение максимума поглощения в замещенных производных бензола

Заместитель	λ _{max} , HM	ε _{max} , л·моль ⁻¹ ·см ⁻¹
отсутствует	254	204
CH ₃	261	225
Cl	263	190
ОН	270	1450
CN	271	1000
СООН	273	970
NH ₂	280	1430

Количественный анализ

А = \varepsilon_{\lambda}-с-b, где $\varepsilon_{\lambda}^{-[\Pi \cdot MOЛЬ^{-1} \cdot CM^{-1}]; b - [CM]; c - [MOЛЬ \cdot \Pi^{-1}]}$ *Органические реагенты для*

Органические реагенты для фотометрического определения металлов.

Донорн. атомы	Реагент	Структурная формула	Определяемые ионы
N	1,10-фенантролин		Fe ²⁺ , Cu ⁺
		S CH ₂ -CH ₃	
S	Диэтилдитиокарбамат)N_	Cu ²⁺ , Ni ²⁺
		S CH ₂ -CH ₃	
		о но	
0	Ализарин S	ОН	Al ³⁺
	end at		
N-S	Дитизон		$\begin{array}{c} \text{Bi}^{3+}, \text{Cd}^{2+}, \text{Co}^{2+}, \\ \text{Cu}^{2+}, \text{Pb}^{2+}, \text{Zn}^{2+}, \\ \text{Ag}^{+}, \text{Hg}^{2+} \end{array}$
N-O	8-Оксихинолин	N	Fe^{3+} , $Mo(VI)$, $V(V)$
		ОН	
	Пиридил-азо-резорцин (ПАР)	N=N—OI	Fe ³⁺ , Cd ²⁺ , Co ²⁺ , Cu ²⁺ , Mn ²⁺ , Zn ²⁺ , H V(V)

При
$$\varepsilon_{\lambda} = 4 \cdot 10^4 \, (\text{л·моль}^{-1} \cdot \text{см}^{-1}),$$

 $A = 10^{-2}; \, b=1 \, \text{см}$

$$c = \frac{A}{\varepsilon_{\lambda} \cdot b} = \frac{10^{-2}}{4 \cdot 10^{4} \cdot 1} = 2,5 \cdot 10^{-7}$$

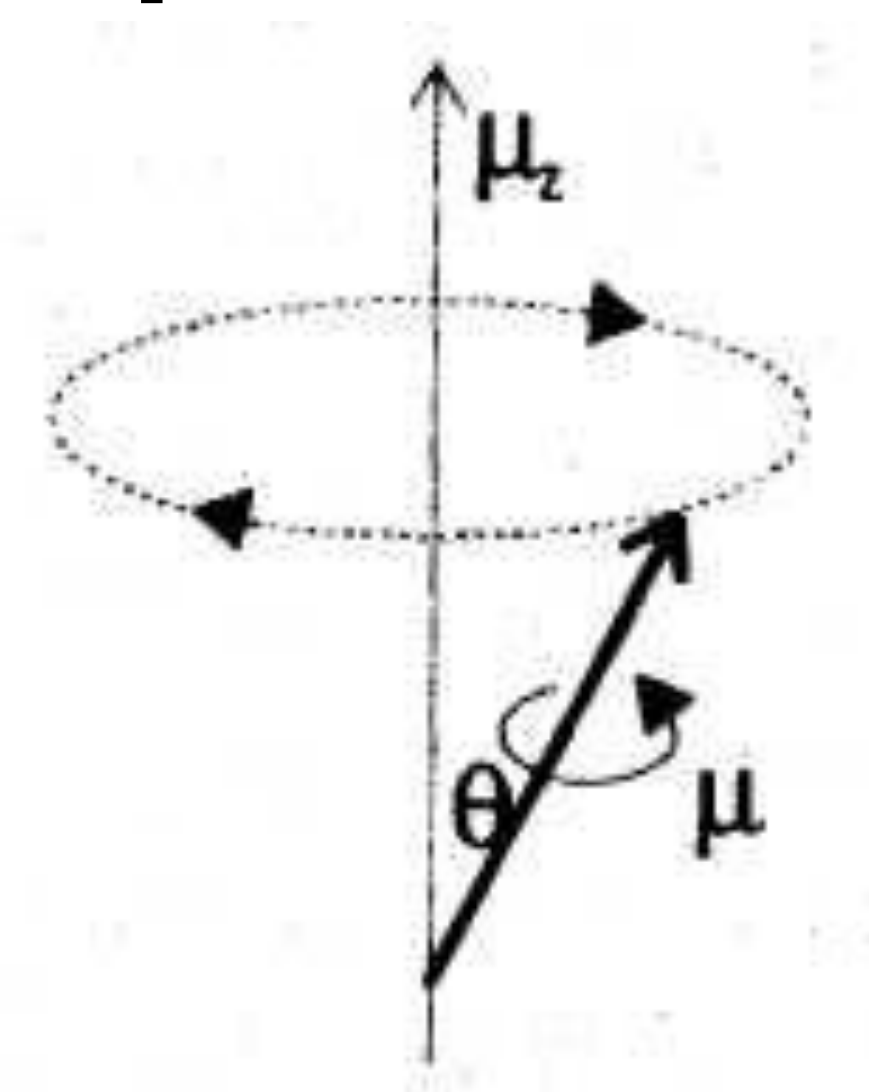
Если ММ=50, то это – 10 нг/мл

Спектроскопия ЯМР

Частоты измерений и соответствующие плотности магнитного потока в спектроскопии ЯМР 1 Н и 13 С

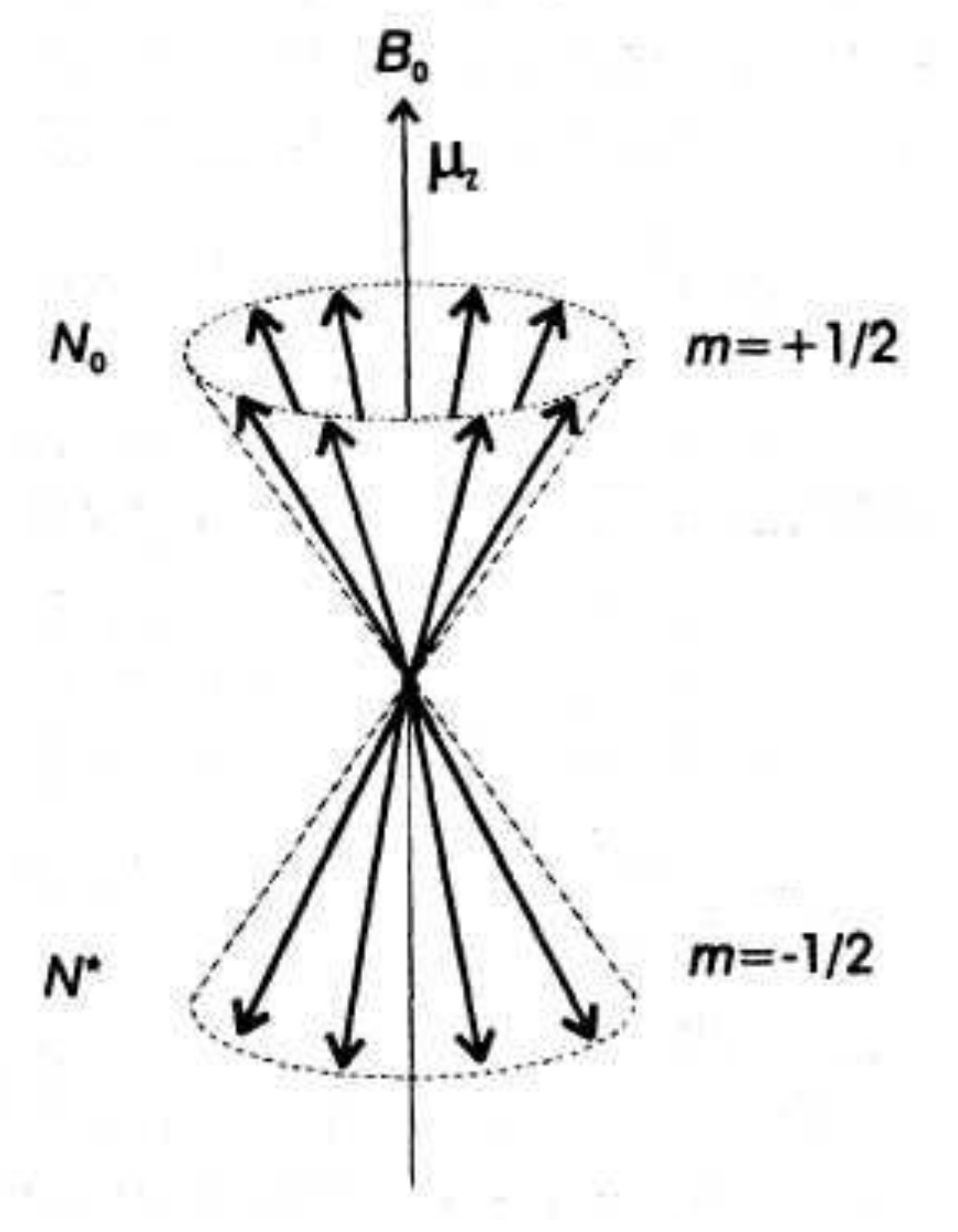
В ₀ , Тл	Частота измерения, МГц	
	¹ H	¹³ C
1,41	60	15,1
1,88	80	20,1
2,11	90	22,63
2,35	100	25,15
4,70	200	50,3
5,87	250	62,9
7,05	300	75,4
9,40	400	100,6
11,74	500	125,7
14,09	600	150,9

Прецессия вращающегося магнитного ядра под действием магнитного поля



$$\Delta E = -\mu_z B_0 = -\mu B_0 \cos \theta$$

Двойной конус прецессии для ядра со спином ½



$$B_{3\phi}$$
. = $B_{o} - \sigma B_{o} = (1 - \sigma) B_{o}$
 σ – константа экранирования;

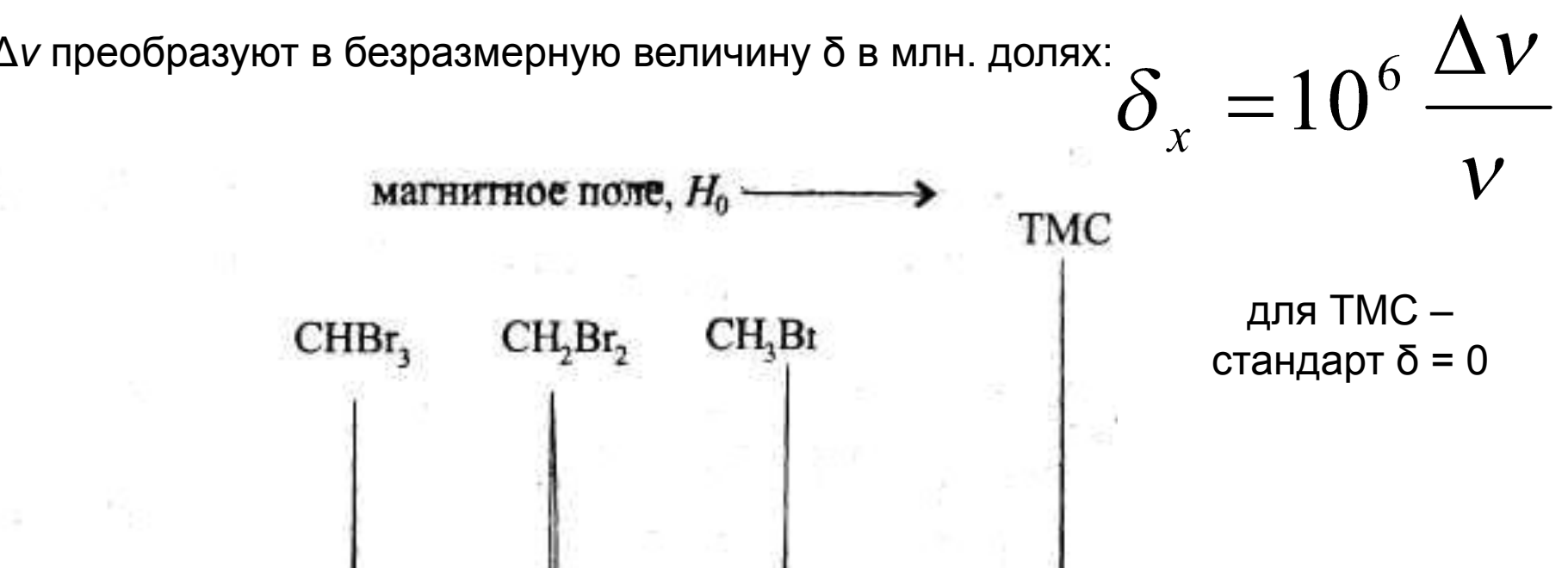
С учетом эффекта экранирования условие резонанса:

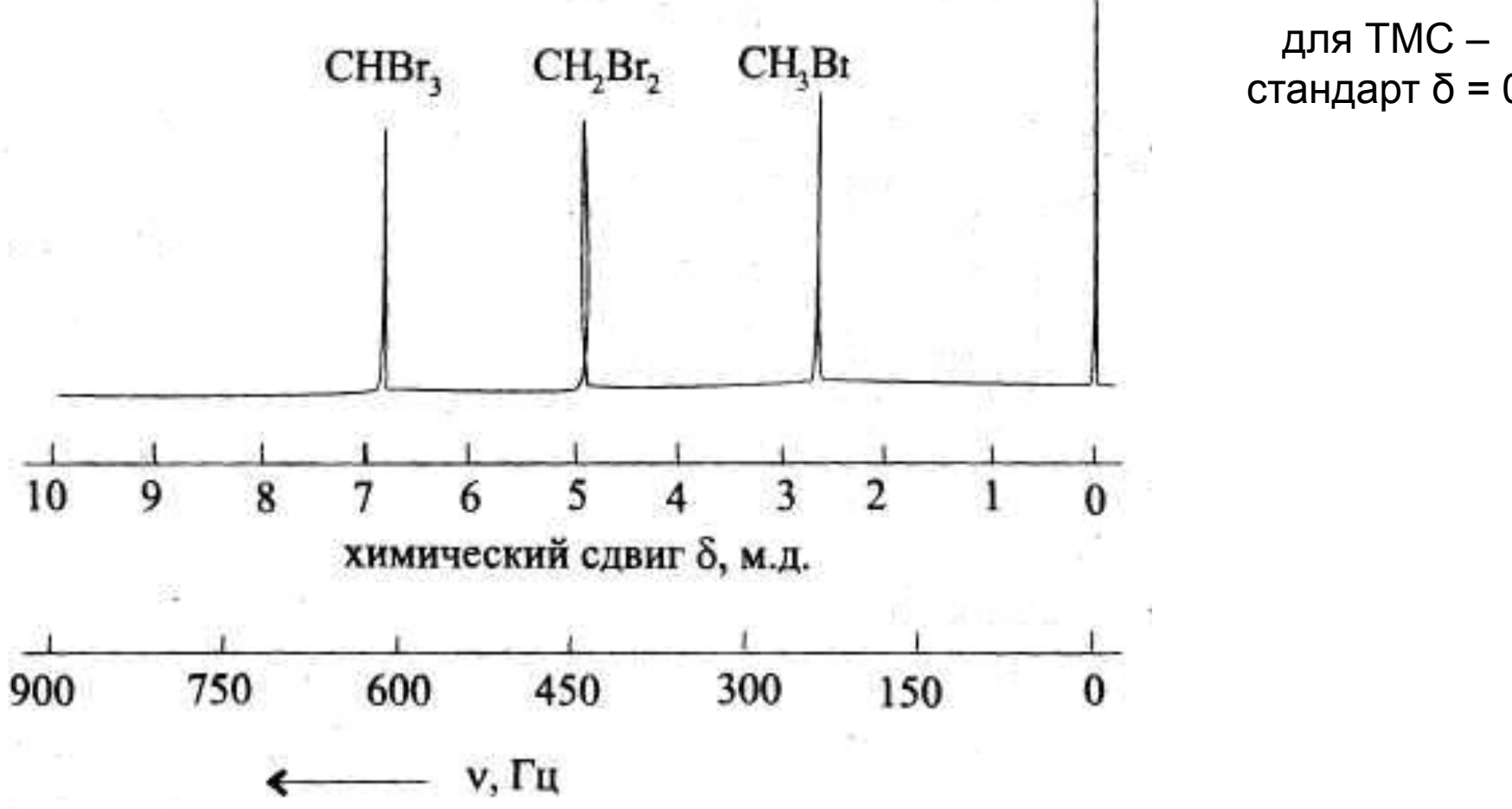
$$v = \frac{\gamma}{2\pi} B_o (1 - \sigma)$$

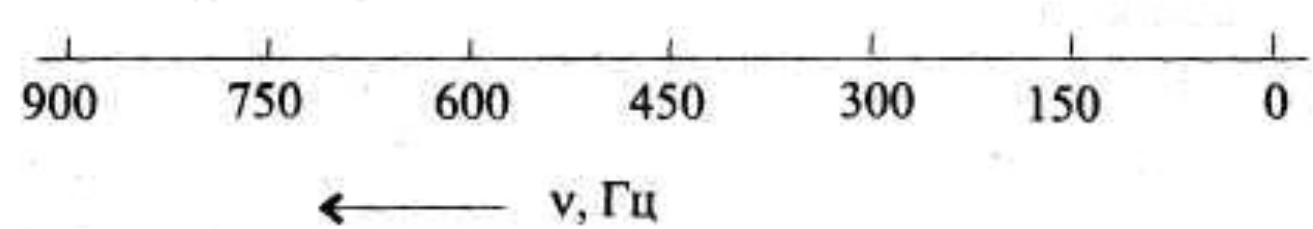
$$\Delta B = B_{x} - B_{TMC}$$

$$\Delta v = v_{x} - v_{TMC} = \frac{\gamma}{2\pi} \Delta B$$

 Δv преобразуют в безразмерную величину δ в млн. долях:







Диамагнитное экранирование

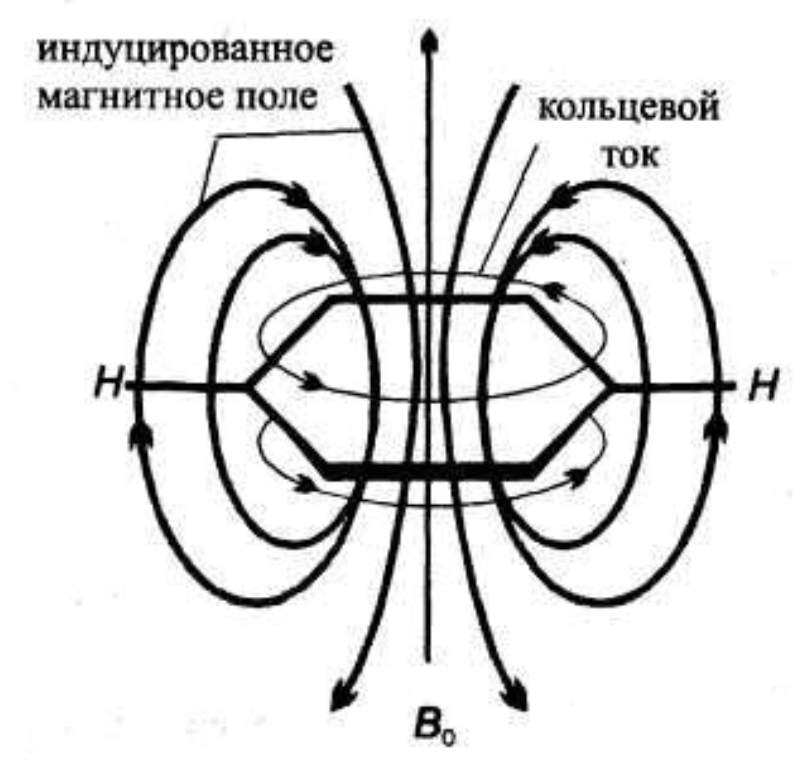
Уменьшается с ростом электроотрицательности заместителя, m.e. увеличивается хим. сдвиг:

CH₃X, δ, м.д. (X); 2,16 (J); 2,68 (Br); 3,05 (CI); 4,27 (F)

Анизотропное экранирование

Изменение б, м.д.:

бензол 7,3; этилен 5,8; ацетилен 2,9; этан 0,9.



Спектроскопия ЯМР (продолжение)

Некоторые ядра, имеющие собственный магнитный момент: H^1 ; C^{13} ; P^{31} ; F^{19} ; N^{15} имеют ядерный спин:

$$J = \frac{1}{2}$$

Потенциальная энергия ядра

1.
$$E = \frac{\gamma m h}{2\pi} B_o$$
 2. $E_{+1/2} = -\frac{\gamma h}{4\pi} B_o$ 3. $E_{-1/2} = \frac{\gamma H}{4\pi} B_o$

2.
$$E_{+1/2} = -\frac{\gamma h}{4\pi} B_o$$

3.
$$E_{-1/2} = \frac{\gamma H}{4\pi} B_c$$

4.
$$\Delta E = \frac{\gamma h}{2\pi} B_o$$
 5. $\Delta E = h \nu_o$ 6. $h \nu_o = \frac{\gamma h}{2\pi} B_o$

5.
$$\Delta E = h \nu_o$$

6.
$$h\nu_o = \frac{\gamma n}{2\pi} B_o$$

7.
$$v_o = \frac{\gamma}{2\pi} B_o$$

 γ – гиромагнитное отношение (Тл/с);

т – магнитное квантовое число;

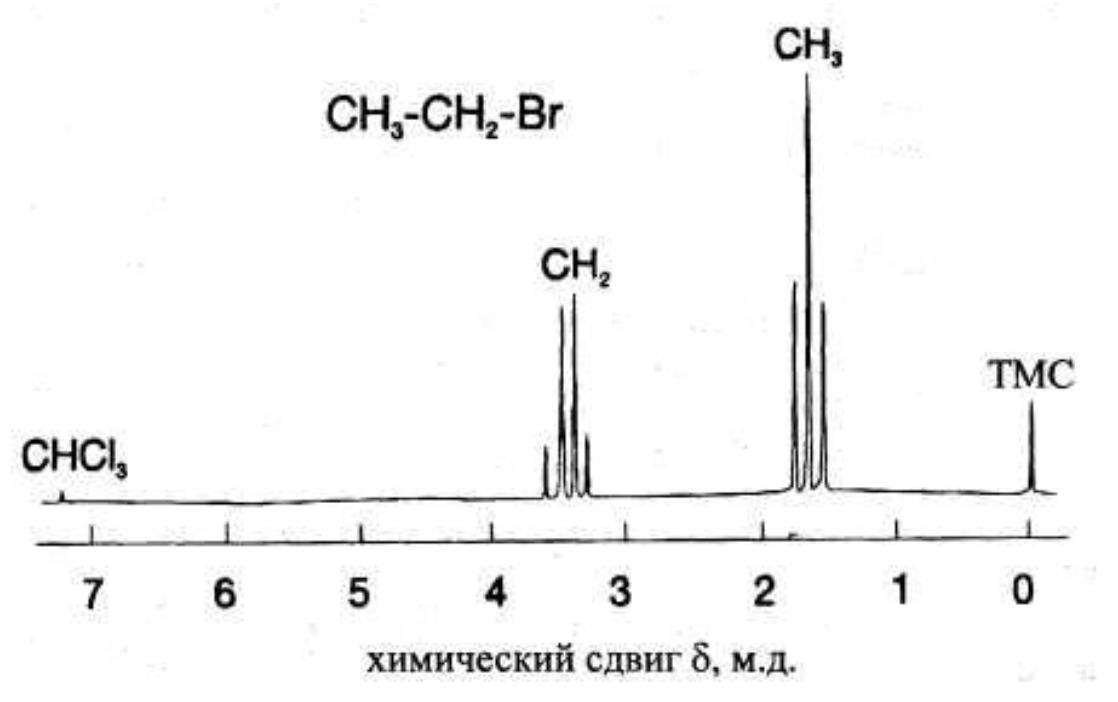
h – const Планка;

 $B_{o}^{}$ – плотность внешнего магнитного потока (МГц).

Гиромагнитное отношение наиболее важных ядер

Изотоп	γ, 10 ⁷ Тл/с
H^1	26,752
C^{13}	6,728
N^{15}	2,712
P ³¹	10,841
F^{19}	25,1181

Спин-спиновое взаимодействие



Соотношение интенсивностей

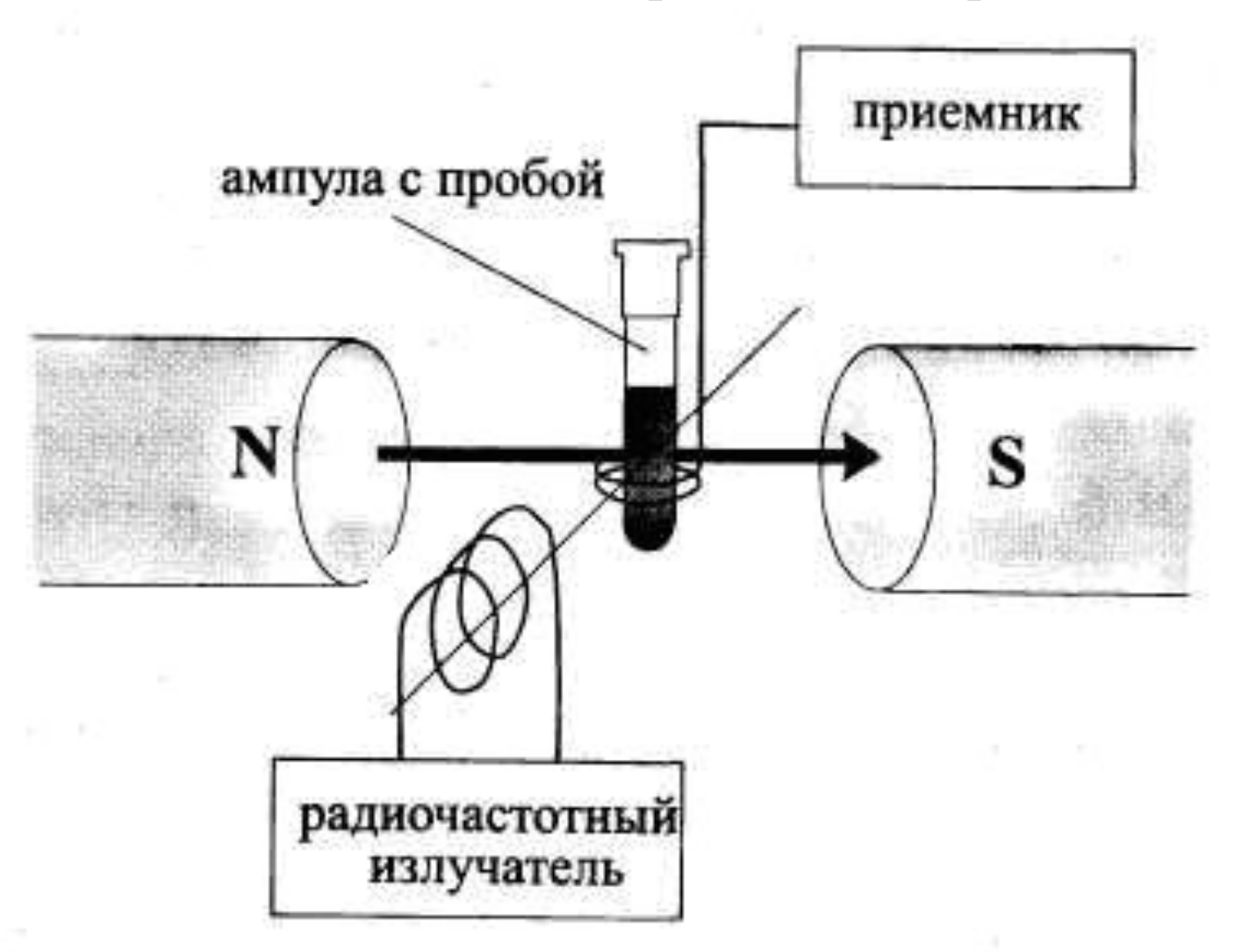
 $CH_3 = 1:2:1$

CH₂ = 1:3:3:1

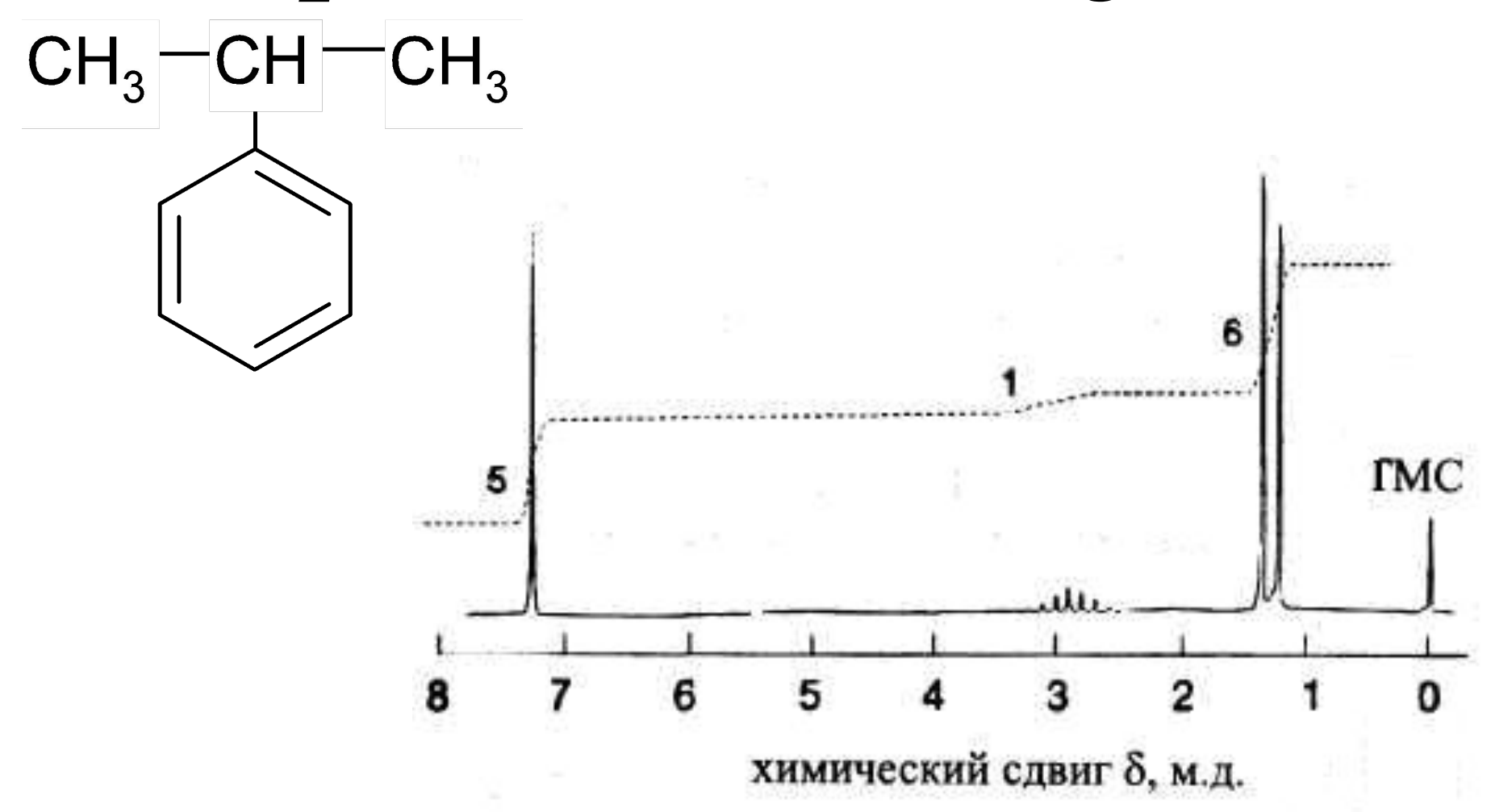
Структура мультиплетных сигналов в спектрах ЯМР первого порядка для ядер со спином $J=\frac{1}{2}$

Число соседних взаимодействующих ядер	Мультиплетность	Отношение интенсивностей компонент
0	синглет (1)	1
(1)	дублет (2)	1:1
2	триплет (3)	1:2:1
3	квартет (4)	1:3:3:1
4	квинтет (5),	1:4:6:4:1
5	секстет (6)	1:5:10:10:5:1
6	септет (7)	1:6:15:20:15:6:1

Схема устройства ЯМР-спектрометра



ЯМР-спектр изопропилбензола (кумола)



Области химических сдвигов ядер H¹ (м.д.):

Карбоновые кислоты (OH)
$$9-12$$
 Альдегиды (C=O) $9,5-10,5$ Фенолы (OH) $4-10$ Спирты (OH) $1-5,2$ Амины (NH₂) $3,6-4,8$

<u> І етероароматические протоны:</u>

$$H$$
 8,1 – 8,9 H 6,5 – 7,4 Алкены 4,5 – 8

Количественный анализ S пика ≡ с

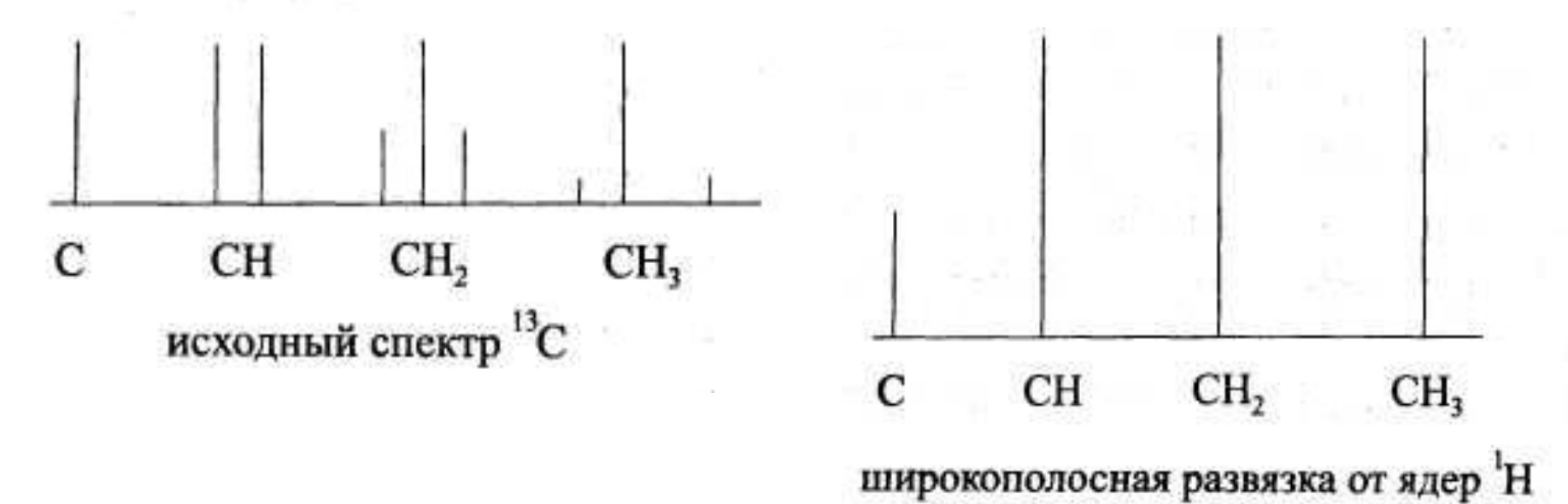
$$m_{_{X}}=m_{_{CM}} \cdot \frac{N_{_{CM}}}{N_{_{X}}} \cdot \frac{M_{_{X}}}{M_{_{CM}}} \cdot \frac{A_{_{X}}}{A_{_{CM}}} \cdot \frac{m$$
 — масса вещества; N — число протонов в группировке; A — площадь пика; M — мольная масса вещества;

m – масса вещества;

X — определяемое вещество;

ст. – стандарт.

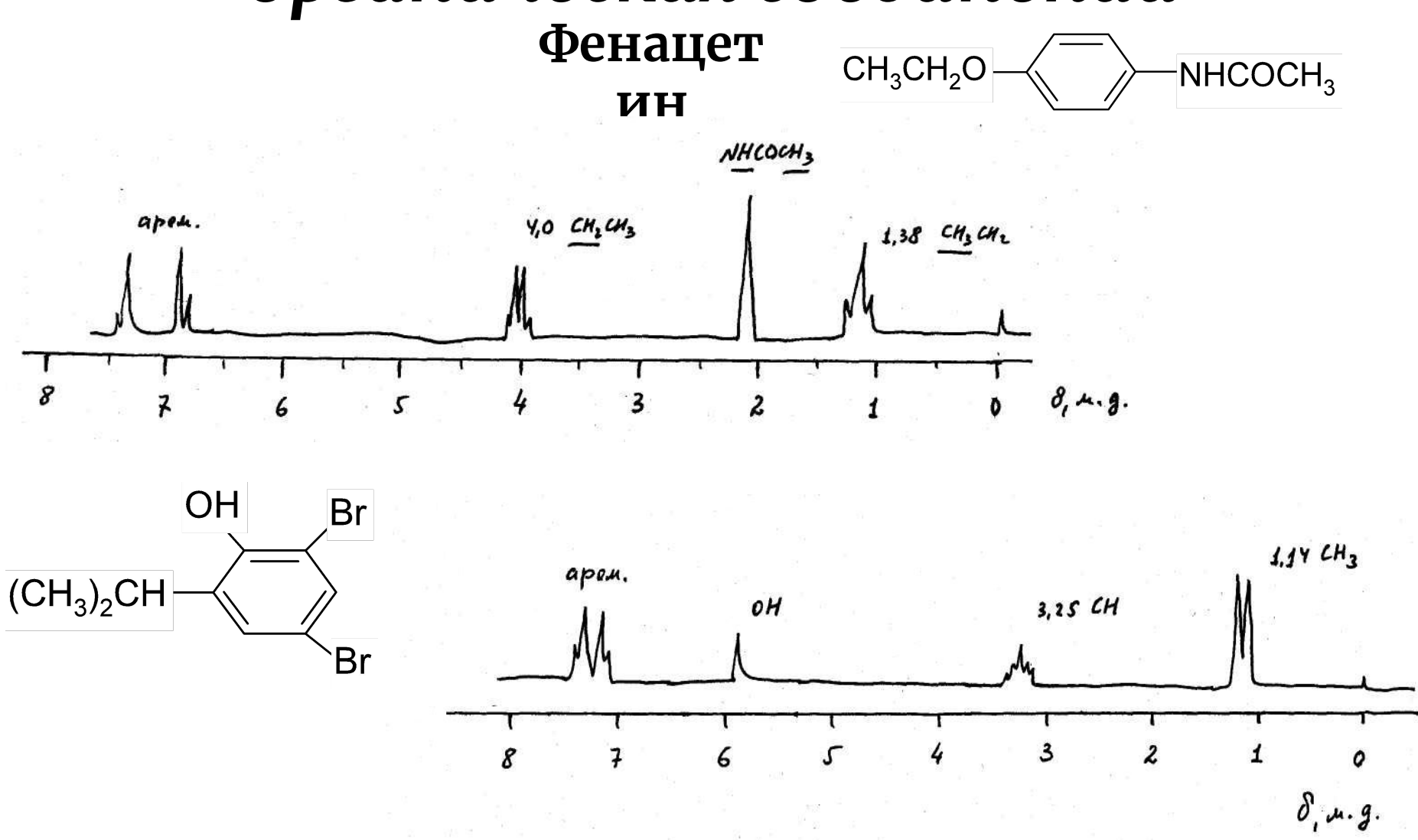
Спектроскопия ЯМР – С13



Химические сдвиги ядер С¹³ в органических соединениях

Соединения	δ, м.д.
Кетоны	200-228
Альдегиды	182-208
Кислоты	170-180
Алкены	105-122
Ароматические	111-135
алкины	75-92
С (четвертичный)	30-50
С (третичный)	33-60
С (вторичный)	20-45
С (первичный)	7-30
Растворители:	
(CH ₃) ₂ O	30
CH ₃ OH	50
CHCl ₃	80
C ₆ H ₆	98

ПМР-спектры отдельных органических соединений



35

<u>Насыщенные циклические</u> <u>соединения</u>

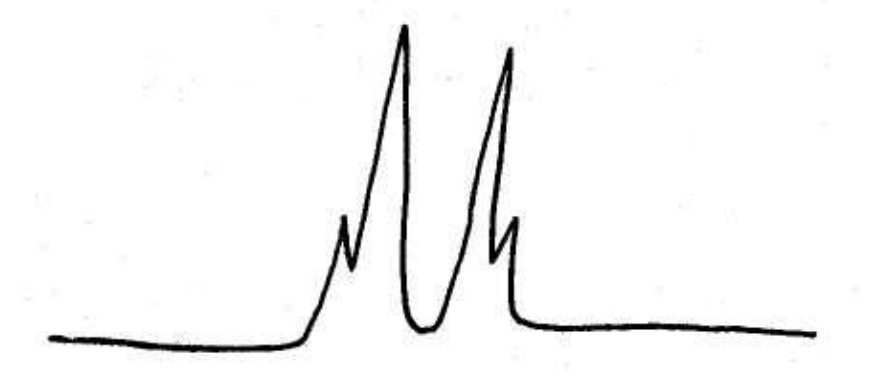
Непредельные соединения

	δ, м.д.
Циклопропаны	0,22-0,40
(алканы)	1,0-1,4
CH ₂ - CH - CH ₃	2,54
–O–CН ₂ – (линейн.)	3,3-3,6

Олефины
$$\delta$$
, м.д.
$$-CH = CH - X$$

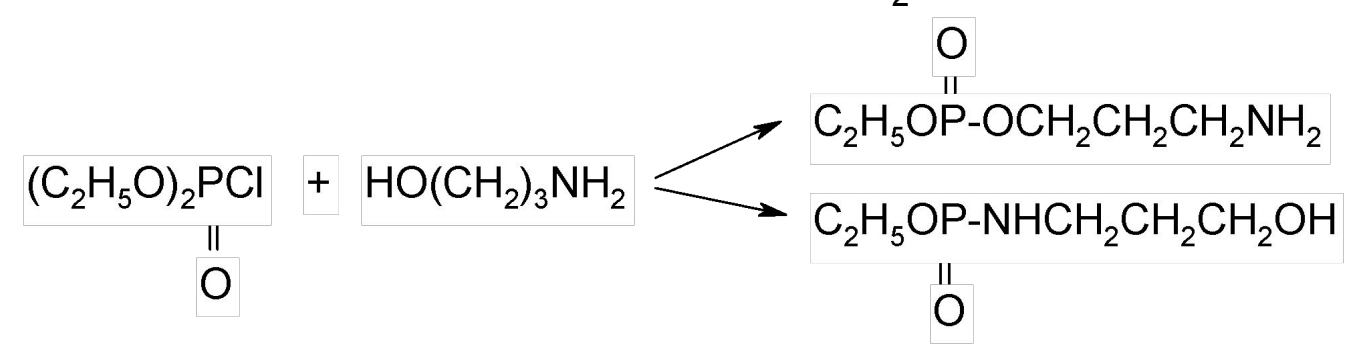
$$\beta \quad \alpha$$

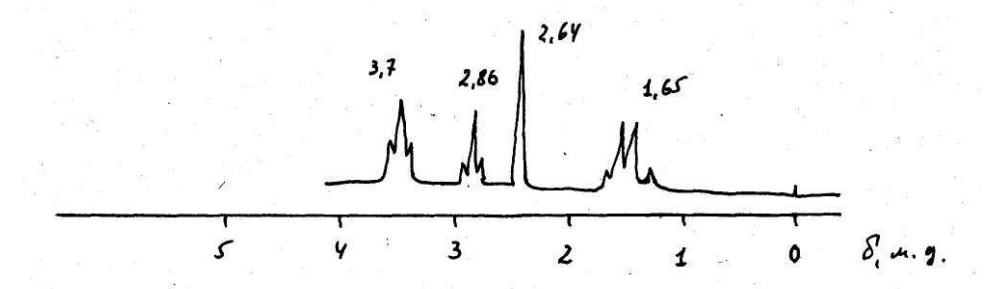
$$J_{\text{цис}} = 8\text{-}13 \; \Gamma\text{ц} \qquad J_{\text{транс}} = 14\text{-}18 \; \Gamma\text{ц}$$
 Ацетилены δ , м.д. $\sim 2,3-2,9$

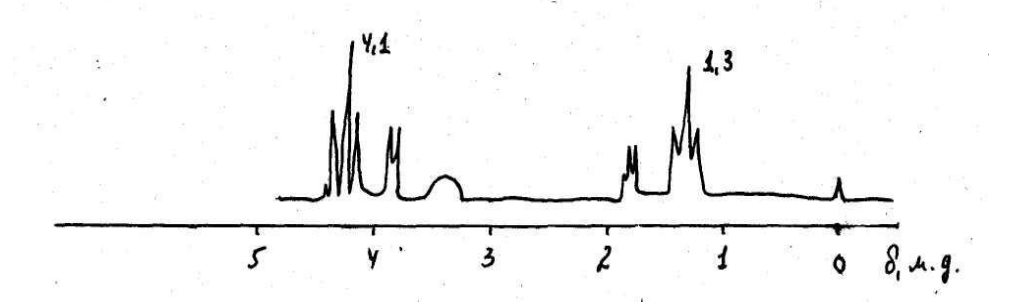


Симметричный квадруплет в ПМР-спектре п-замещенных производных бензола

Задача № 1 Реакция диэтоксифосфинохлорида с пропаноламином может идти по 2-м направлениям (по OH-гр. и по NH₂ гр.)







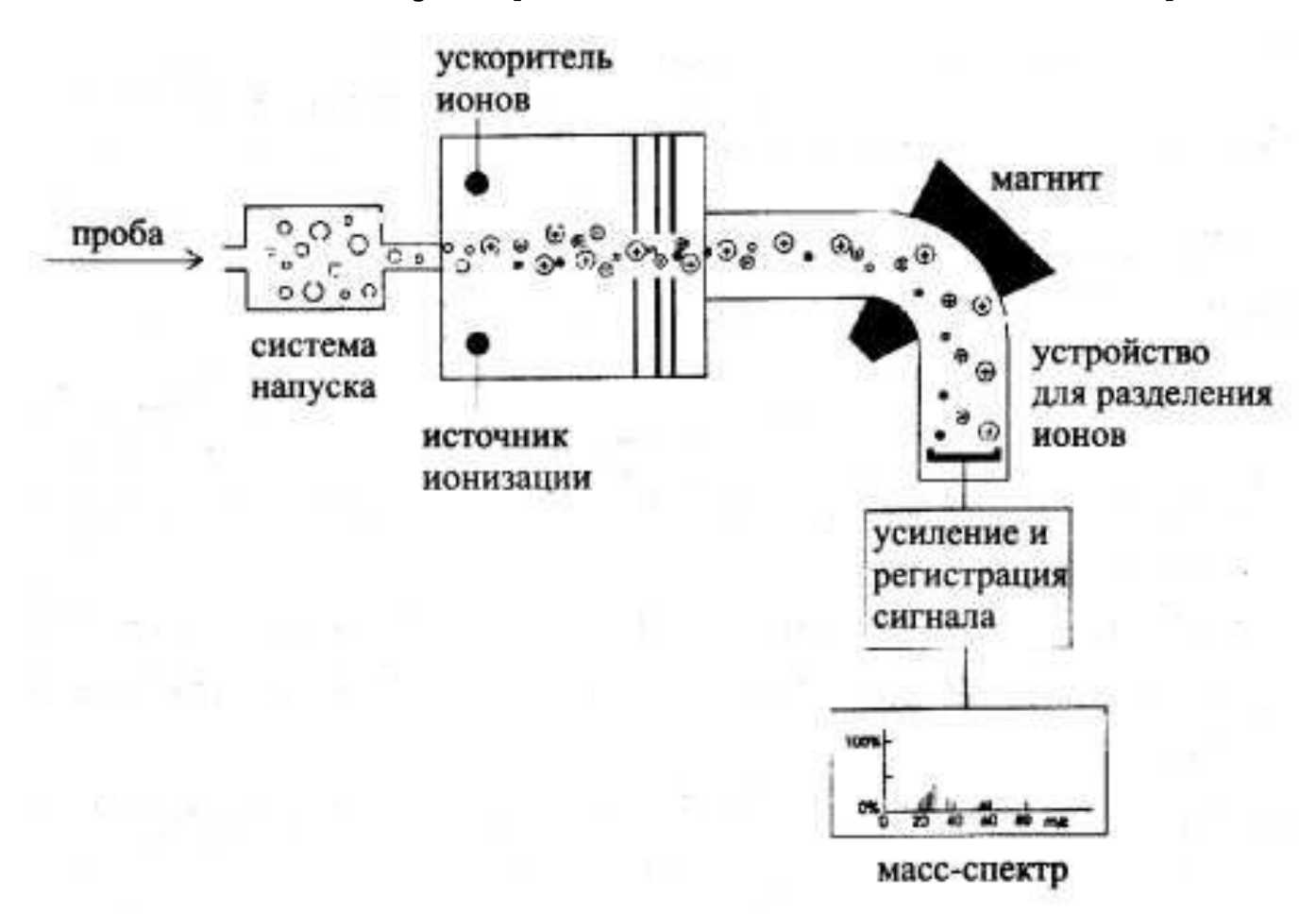
3адача № 2

Какой ЯМР-Н¹ спектр можно ожидать для следующих соединений:

a)
$$(CH_3CH_2O)_3CH$$
 a - 1,1-1,3 — триплет, a б в б – 2,3-3,6 — квадруплет, в – 5,3 — синглет.

МАСС-СПЕКТРОСКОПИЯ

Схема устройства масс-анализатора



Разрешающая способность масс-анализаторов:

$$R = \frac{m}{\Delta m}$$

Разрешение порядка нескольких тысяч необходимо для разделения следующих ионов:

Ион	m
$C_2H_4^+$	28,0313
CH_2N^+	28,0187
N_2^+	28,0061
CO^+	27,9949

Тогда как для регистрации ионов NH_3^+ и CH_4^+ с MM соответственно 17 и 16 достаточно разрешения R=50.

Поведение ионов в магнитном анализаторе

1)
$$zU = \frac{1}{2}mv^2 \begin{tabular}{c} $z-$ заряд иона; \ $U-$ ускоряющее напряжение; \ $m-$ масса иона; \ $v-$ скорость иона. \end{tabular}$$

2) $F_{i} = zHv$ — отклоняющая сила Лоренца H – напряженность магнитного поля.

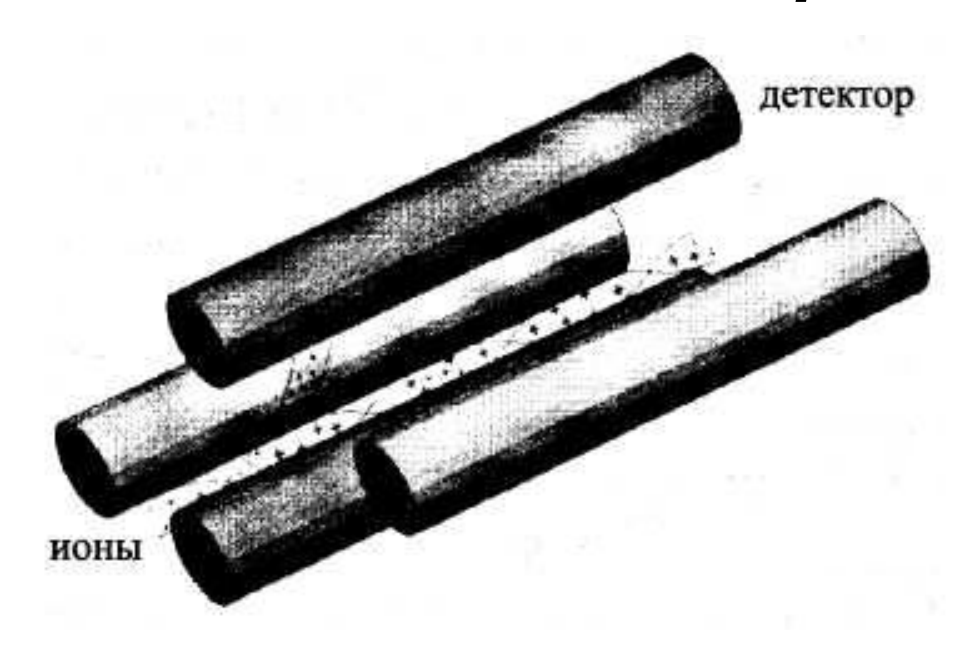
3)
$$F_z = \frac{mv^2}{r}$$
 — центростремительная сила r — радиус траектории иона.

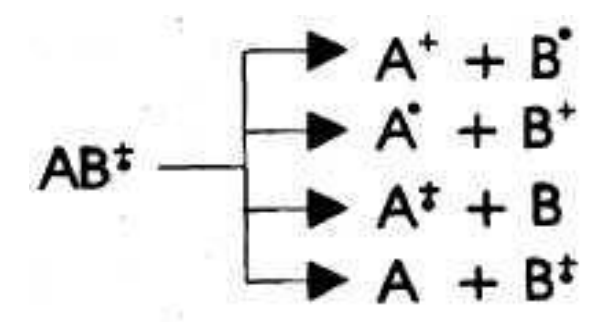
В состоянии динамического равновесия:

4)
$$F_L = F_z$$
; $zHv = \frac{mv^2}{r}$

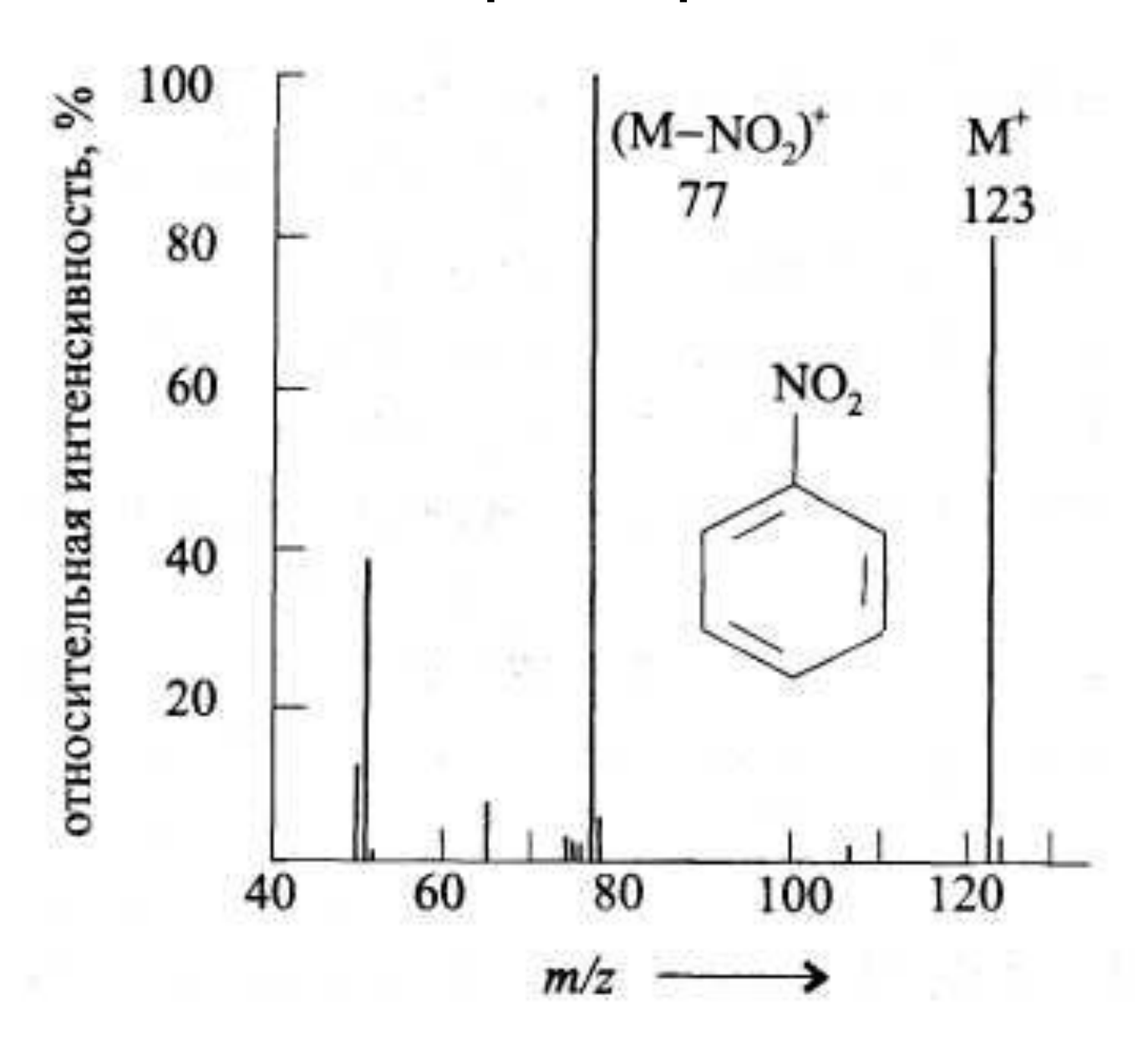
Преобразовав уравнение 1 и 4 получим: 5)
$$\frac{m}{z} = \frac{H^2 \cdot r}{2U}$$

Квадрупольные масс-спектрометры Расположение электродов в квадрупольном масс-анализаторе





Масс-спектр нитробензола



Химическая ионизация

 $CH_4 + \bar{e} \rightarrow CH_4^+ + 2\bar{e}$ (немного CH_3^+ и CH_2^+) В результате вторичных процессов образуются высокореакционноспособные частицы:

$$CH_4 + CH_4^+ \rightarrow CH_5^+ + CH_3$$

 $CH_4 + CH_3^+ \rightarrow C_2H_5^+ + H_2$

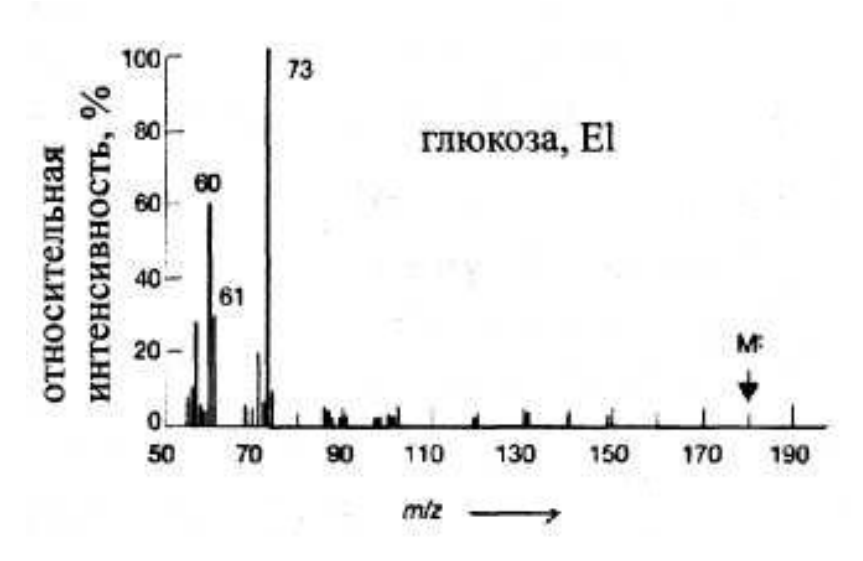
Затем ионизируется исследуемое вещество ХН:

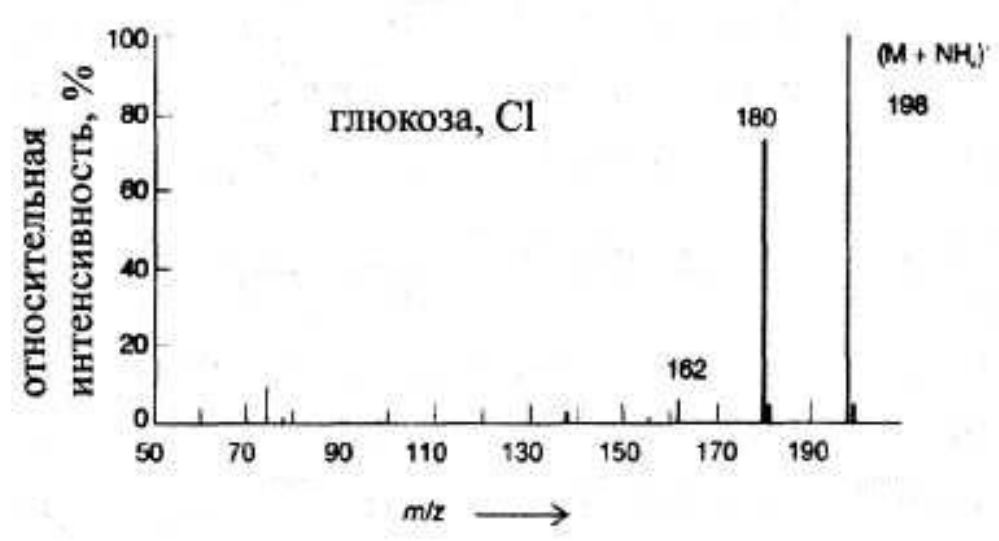
$$CH_5^+ + XH \rightarrow XH_2^+ + CH_4 (M+1)^+$$

 $C_2H_5^+ + XH \rightarrow X^+ + C_2H_6 (M-1)^+$

Иногда присоединяется ион $C_2H_5^+$ и появляется пик $(M+29)^+$.

Масс-спектры глюкозы, полученные электронным ударом (EI) и хим. ионизации (CI)





Применение масс-спектроскопии

 M^+ = 120,070 ± 0,005 Это скорее бензиламин $C_7H_8N_2$ (M=120,069), чем ацетофенон C_8H_8 (M=120,096). Установление брутто-формулы по соотношению отдельных изотопов:

В метане (CH_4) соотношение $^{12}CH_4$: $^{13}CH_4$ = 100 : 1,1 В этане могут быть следующие варианты:

$$^{12}\text{CH}_3 - ^{12}\text{CH}_3$$
 $^{13}\text{CH}_3 - ^{12}\text{CH}_3$ $m/z = 30(\text{M}^{+\bullet})$ $m/z = 31((\text{M} + 1)^{+\bullet})$ $^{12}\text{CH}_3 - ^{13}\text{CH}_3$ $^{13}\text{CH}_3 - ^{13}\text{CH}_3$ $^{13}\text{CH}_3 - ^{13}\text{CH}_3$ $m/z = 31((\text{M} + 1)^{+\bullet})$ $m/z = 32((\text{M} + 2)^{+\bullet}).$

Соотношение интенсивностей (отн. %) с массовыми числами: 30 (100%); 31 (2,2 %); 32 (0,01 %) Число атомов углерода в молекуле: 2,2 : 1,1 = 2

<u>В общем случае:</u>

$$(a + B)^n$$

а – относительное содержание легкого изотопа;

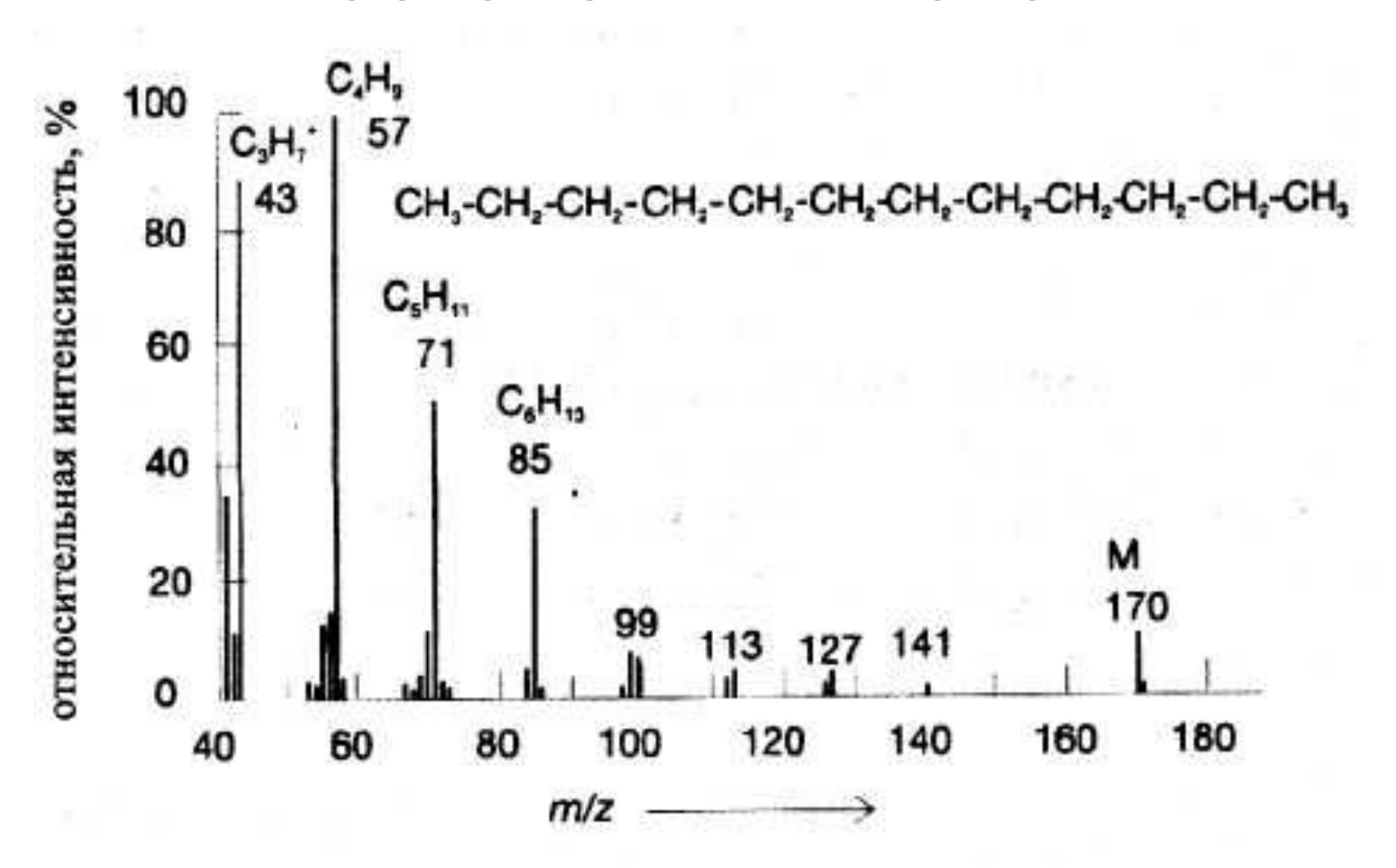
в – относительное содержание тяжелого изотопа;

n – число атомов данного элемента в молекуле.

Например:

молекула с двумя атомами хлора Природные изотопы: Cl^{35} и Cl^{37} . Содержание изотопа C^{37} составляет 32,4 %, тогда $(1+0,324)^2=1+2\cdot1\cdot0,324+0,324^2=1+0,648+0,105$ $M^+(M+2)^+(M+4)^+$

Установление структуры по осколочным ионам



Взаимосвязь массовых чисел, природы осколков и предполагаемых структур соединений

Массовое число	Фрагмент	Предположительная структура
29 CHO+ C		О-содержащие
	$C_2H_5^+$	алкильные группы
30	NO+	нитросоединения
	$CH_2=NH_2^+$	амины
31	CH ₂ =OH ⁺	алканолы, простые эфиры
33	HS+	тиолы
36/38	HCl+	Cl-содержащие
39	$C_3H_3^+$	бензоидные, гетероциклические

43	$C_3H_7^+$	алкильные группы
	CH ₃ CO ⁺	ацетильные группы
44	CO_2^+	(продукт разложения пробы)
	$C_2H_6N^+$	амины
45	CH ₃ -CH=OH ⁺	алканолы
	$CH_3-O-CH_2^+$	метиловые простые эфиры
	COOH+	карбоновые кислоты
	CHS+	тиолы, тиоэфиры
46	CH ₂ S ⁺	тиолы, тиоэфиры
47	CH ₂ =SH+	тиолы, тиоэфиры
51	$C_4H_3^+$	ароматические соединения
55	$C_4H_7^+$	алкены, циклоалканы
	$CH_2=CH-CO^+$	циклоалканоны
57	$C_4H_9^+$	алкильные группы
	$CH_3-CH_2-CO^+$	этилкетоны
	CH ₂ =CH-CH=OH+	циклоалканолы
58	$CH_2=C(OH)-CH_3^+$	алканоны
	$(CH_3)_2N = CH_2^+$	амины
59	$CH_3-C(CH_3)=OH^+$	алканолы, простые эфиры
60	$CH_2=C(OH)_2^+$	карбоновые кислоты
	CH_2-O-NO^+	нитриты
		ANNO STREET, S

60	$CH_2=C(OH)_2^+$	карбоновые кислоты
	CH_2-O-NO^+	нитриты
61	$C_2H_5S^+$	тиолы
65	$\mathrm{C_5H_5^+}$	бензильные группы
69	$C_5H_9^+$	алкены, циклоалканы
71	$C_5H_{11}^+$	алкильные группы
	$C_3H_7CO^+$	пропилкетоны, эфиры масляной ки- слоты
72	C_3H_7 - $CH=NH_2^+$	амины
73	$C_4H_9O^+$	карбоновые кислоты, простые эфи- ры, алканолы
	(CH ₃) ₃ Si ⁺	триметилсилильные группы
74	$CH_2=C(OH)OCH_3^+$	метиловые сложные эфиры
77	$C_6H_5^+$	ароматические соединения
79/81	Br ⁺	Br-содержащие
80	C ₅ H ₆ N ⁺	производные пиррола
81	$C_5H_5O^+$	производные фурана
85	$C_6H_{13}^+$	алкильные группы
	$C_5H_9O^+$	производные тетрагидрофурана
86	$C_4H_9CH=NH_2^+$	амины
89	$C_7H_5^+$	гетероциклические соединения
91	$C_7H_7^+$	бензильные группы
92	$C_6H_6N^+$	алкилпиридины
91/93	C ₄ H ₈ Cl ⁺	алкилхлориды
94	$C_6H_6O^+$	эфиры фенола

Типичные осколки для некоторых классов соединений

- <u>Алканы:</u> $C_2H_5^+$ $C_3H_7^+$ $C_4H_7^+$ $C_4H_9^+$
- Олефины: $C_3H_5^+$ $C_4H_7^+$ и др.
- Алкилбензолы: $C_6H_5CH_2^+ C_6H_5^+ C_6H_6^+$
- Нитросоединения NO^+ NO_2^+
- Альдегиды: R+HCO⁺ RCO⁺

МЕТОДЫ АТОМНОЙ СПЕКТРОСКОПИИ

Rb и Cs Кирхгоф и Бунзен

TI Крукс

In Райх

Ga Лекок де Буабодран

Энергия электронного состояния

$$E = -z^{2} \frac{R \cdot h \cdot c}{[n - \alpha(l)]^{2}}$$

z – заряд ядра; h – const Планка;с – скорость света; R – const Ридберга; n – главное квантовое число; / – орбитальное квантовое число

$$R = rac{m e^4 \, 2 \pi^2}{h^3 c}$$
 $_{ ext{m-масса покоя электрона;}}^{ ext{m-масса покоя электрона;}}$

Электронные состояния *I*=0, 1, 2, 3 традиционно обозначаются: s, p, d, f, соответственно.

- sharp резкая
- principal главная
- diffuse диффузная
- fundamental фундаментальная

Спиновое квантовое число: s = ±1/2

Полный момент импульса: j = / + s

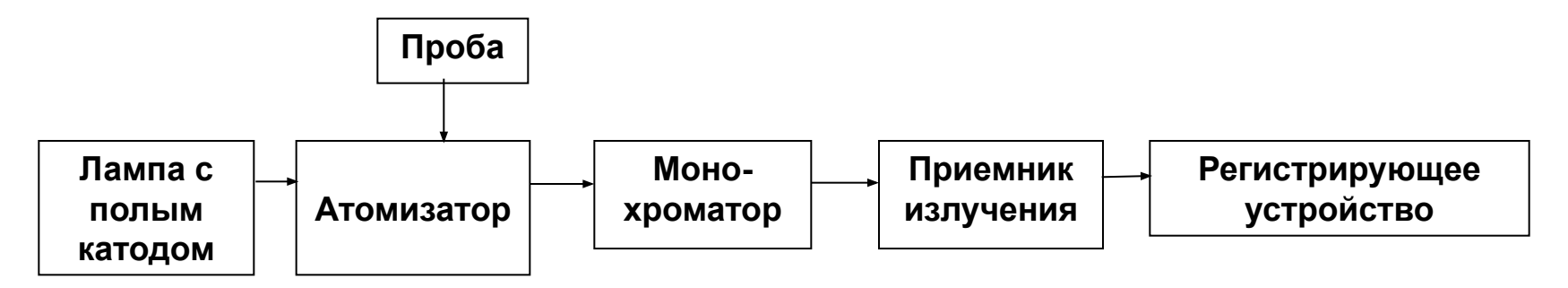
Например:

для атома щелочных металлов при / = 1 и 2-х возможных состояний $s = \pm 1/2$; $j_1 = 1/2$ и $j_2 = 3/2$

Атомно-абсорбционная спектроскопия (AAC)

1955 год Уолш

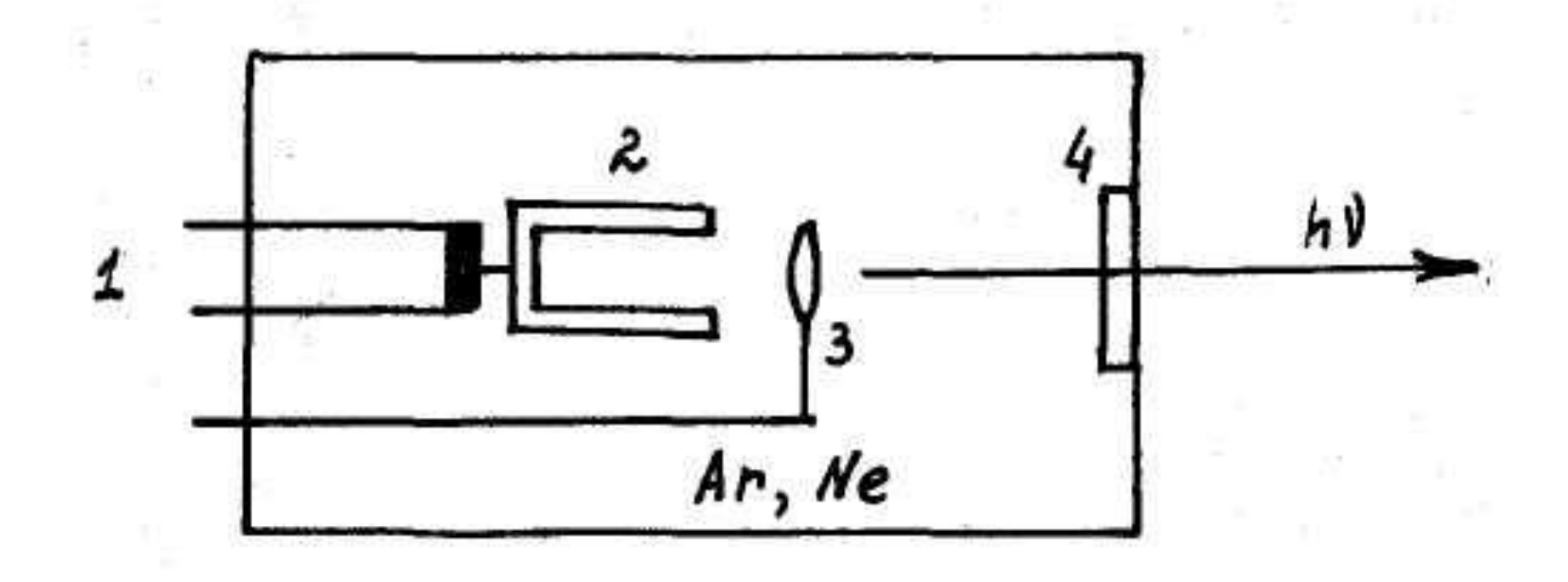
Блок-схема ААС



Эффект Допплера

$$\Delta \lambda = \frac{2\lambda}{c} \bigg(\frac{2kT}{M} 1n2 \bigg)^{1/2} \qquad \begin{array}{l} \text{k-const Больцмана;} \\ \text{M-масса атома;} \\ \text{T-температура;} \\ \text{c-скорость света;} \\ \text{λ-длина волны излучения.} \end{array}$$

Лампа с полым катодом



1 – электрическое питание; 2 – полый катод; 3 – анод; 4 – кварцевое окошко.

Атомизаторы

ГОРЮЧИЙ ГАЗ - ОКИСЛИТЕЛЬ	Т°К	ОПРЕДЕЛЯЕМЫЕЭЛЕМЕНТЫ
Ацетилен – воздух	до 2500	Большинство
Водород – воздух	до 2300	As, Se
Метан – воздух	до 2000	Щелочные металлы
Ацетилен – закись азота	до 3100	B, Al, Si, Be, элементы 3-5 побочных подгрупп

Сравнение пламенной и электротермической атомизации

ЭЛЕМЕНТ	МЕТОД АТОМИЗАЦИИ (ПРЕДЕЛЫ ОБНАРУЖНИЯ нг/мл)	
	ПЛАМЯ	ЭЛЕКТРОТЕРМИЧЕСКОЕ
Al	20	0,01
Be	1	0,003
V	20	0,1
Ga	31	0,01

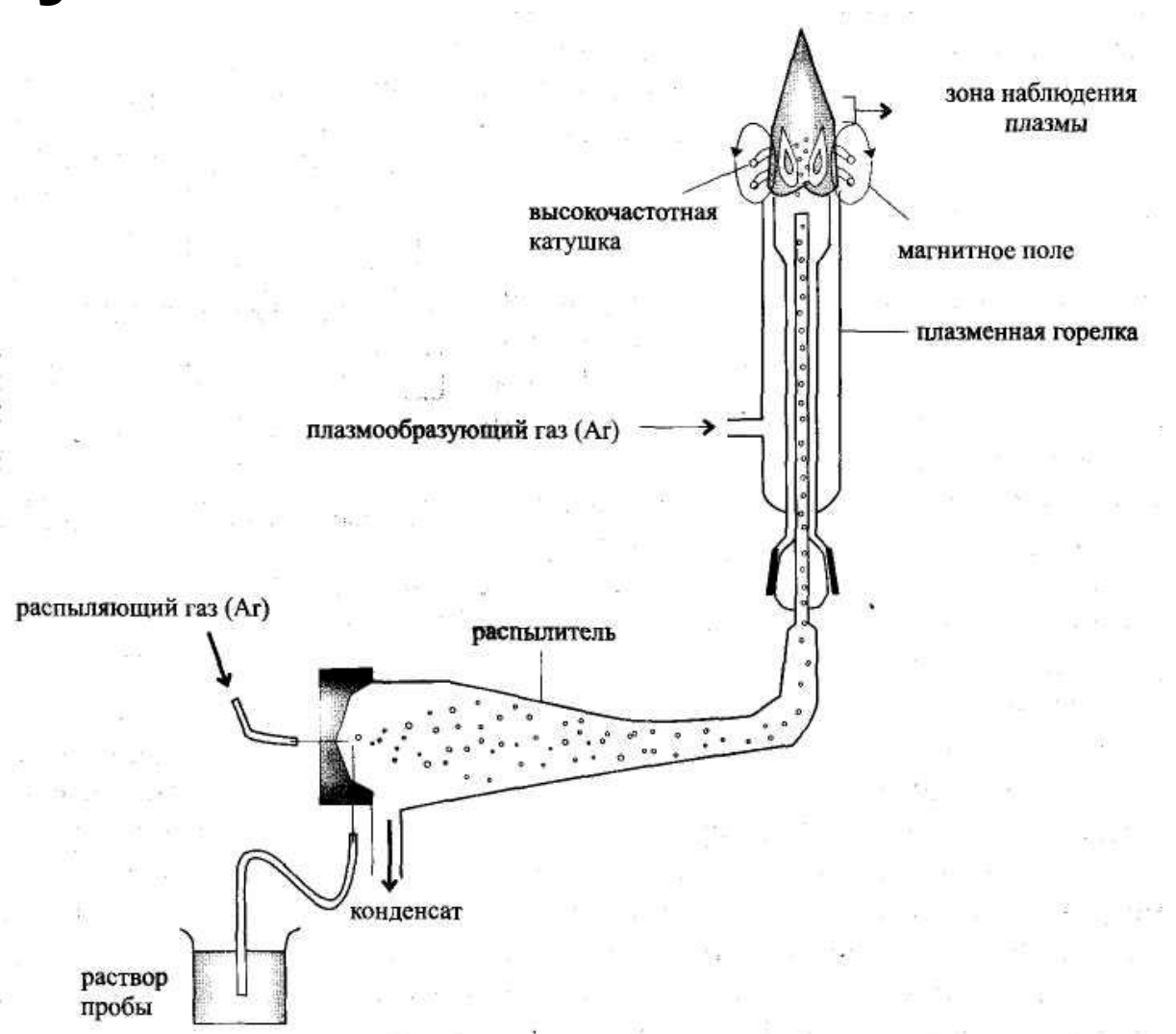
Атомно-эмиссионный метод анализа



Конструкции электродов для атомно-эмиссионного анализа с дуговым или искровым возбуждением

58

Источник атомизации с индуктивно связанной плазмой



Пределы обнаружения для некоторых элементов

ЭЛЕМЕНТ	ПРЕДЕЛЫ ОБНАРУЖЕНИЯ, нг/мл	
	АЭС, пламя	ИСП
A1	3	0,2
Be	100	0,003
В	50	0,1
V	7	0,06

Основы рентгеновской спектроскопии

$$\Delta E = E_{\kappa} - E_{\Gamma} = (8,973 - 0,993) = 8,040 \text{ кэВ}$$

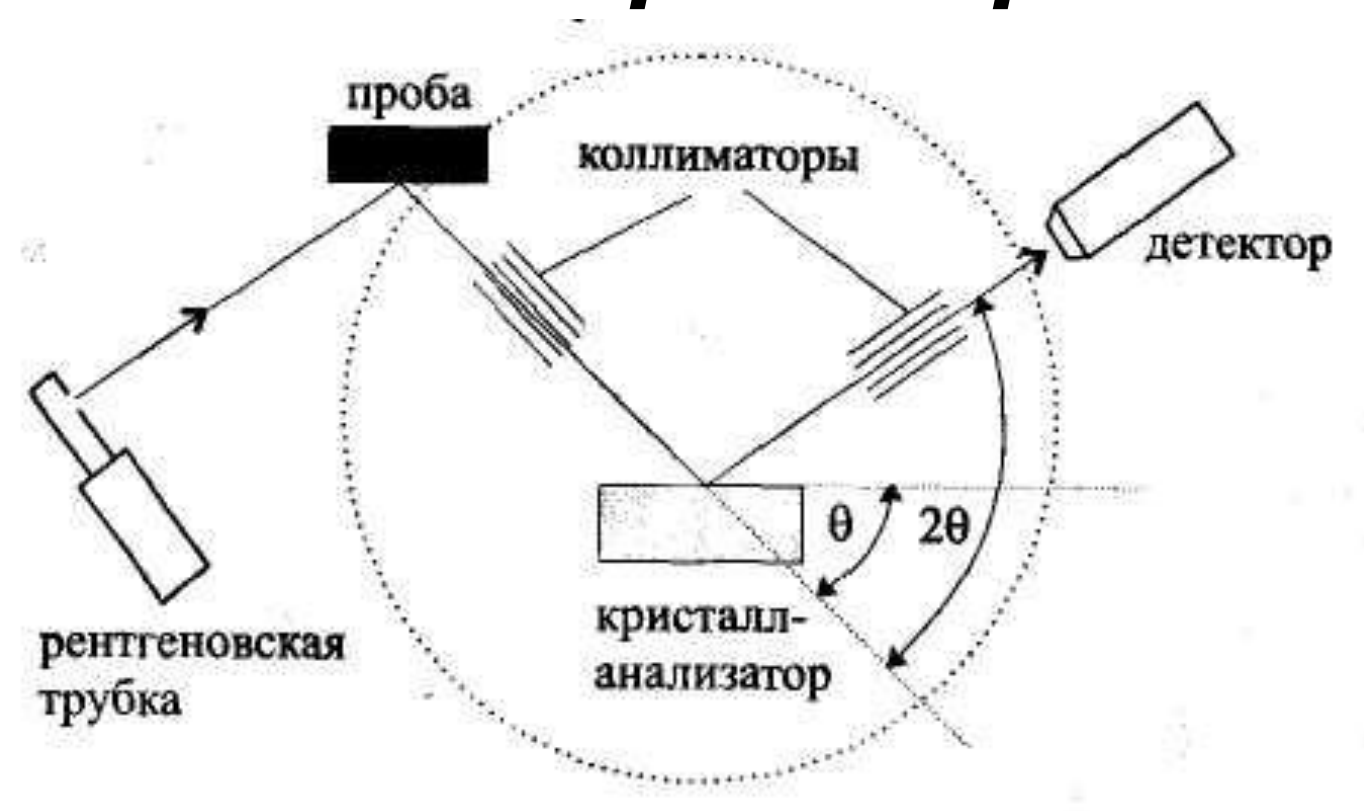
В РФА энергия излучения: 0,6 – 60 кэВ, это соответствует λ от 0,02 до 2 нм. Взаимосвязь λ с Е:

$$\lambda (A) = \frac{12,398}{E(\kappa \ni B)}$$

чем дальше электрон от ядра, тем меньше интенсивность соответствующей линии в РФА:

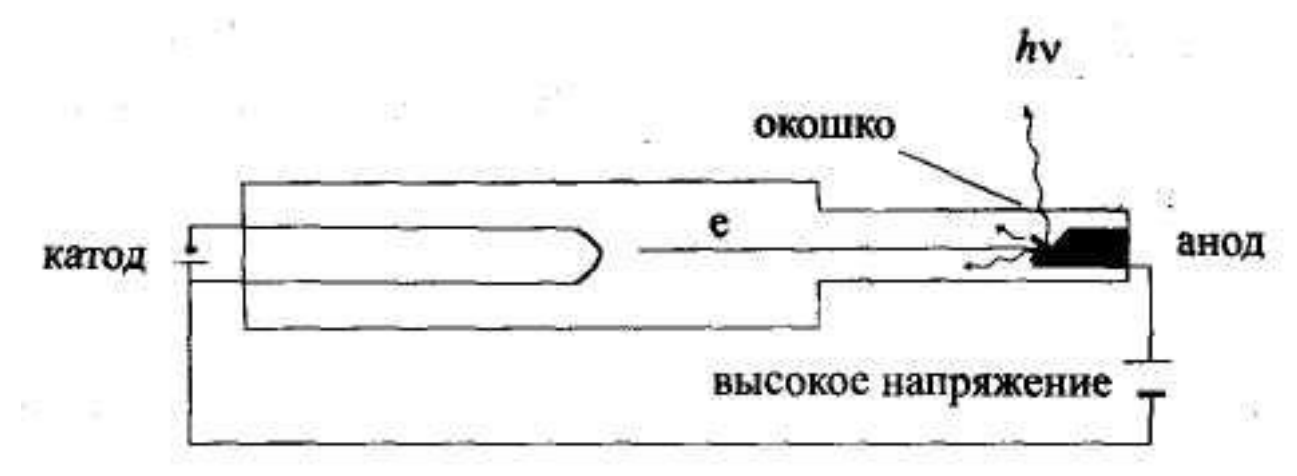
$$K_{\alpha 1}: K_{\alpha 2}: K_{\beta 1} = 4:2:1$$

Устройство рентгеновского спектрометра



Основные узлы рентгенофлуоресцентного спектрометра с волновой дисперсией.

УСТРОЙСТВО РЕНТГЕНОВСКОЙ ТРУБКИ



Закон Мозли

$$\frac{1}{\sqrt{\lambda}} = K(Z - \sigma)$$

Z – порядковый номер элемента;

σ – поправка на экранирование;

К – коэффициент пропорциональности.

Кристалл – анализатор Уравнение Брэгга:

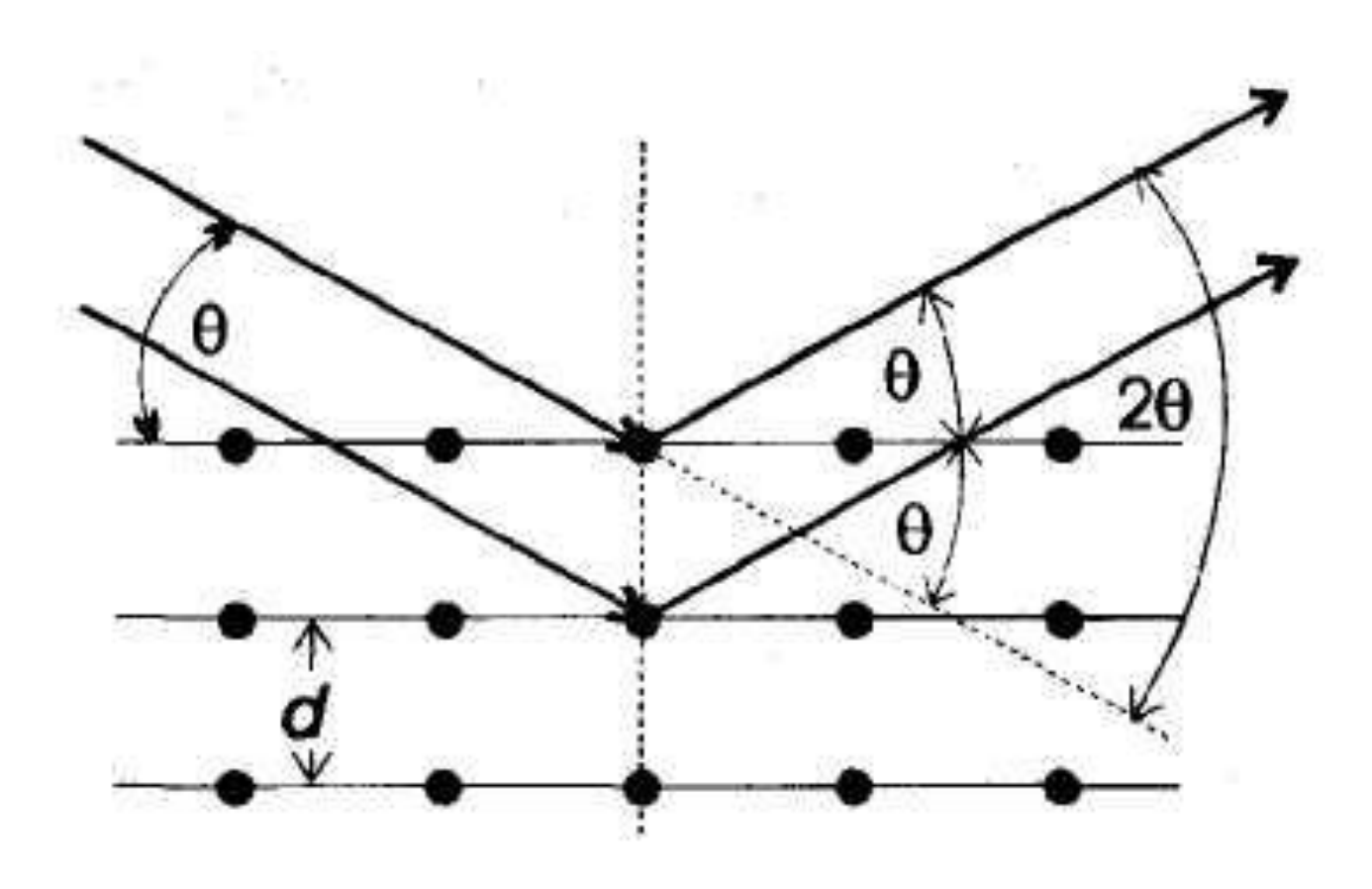
 $n\lambda = 2d \cdot \sin\theta$

nλ – целочисленное значение длины волны; d – межплоскостное расстояние в кристаллической решетке; θ – угол между лучом и плоскостью кристалла;

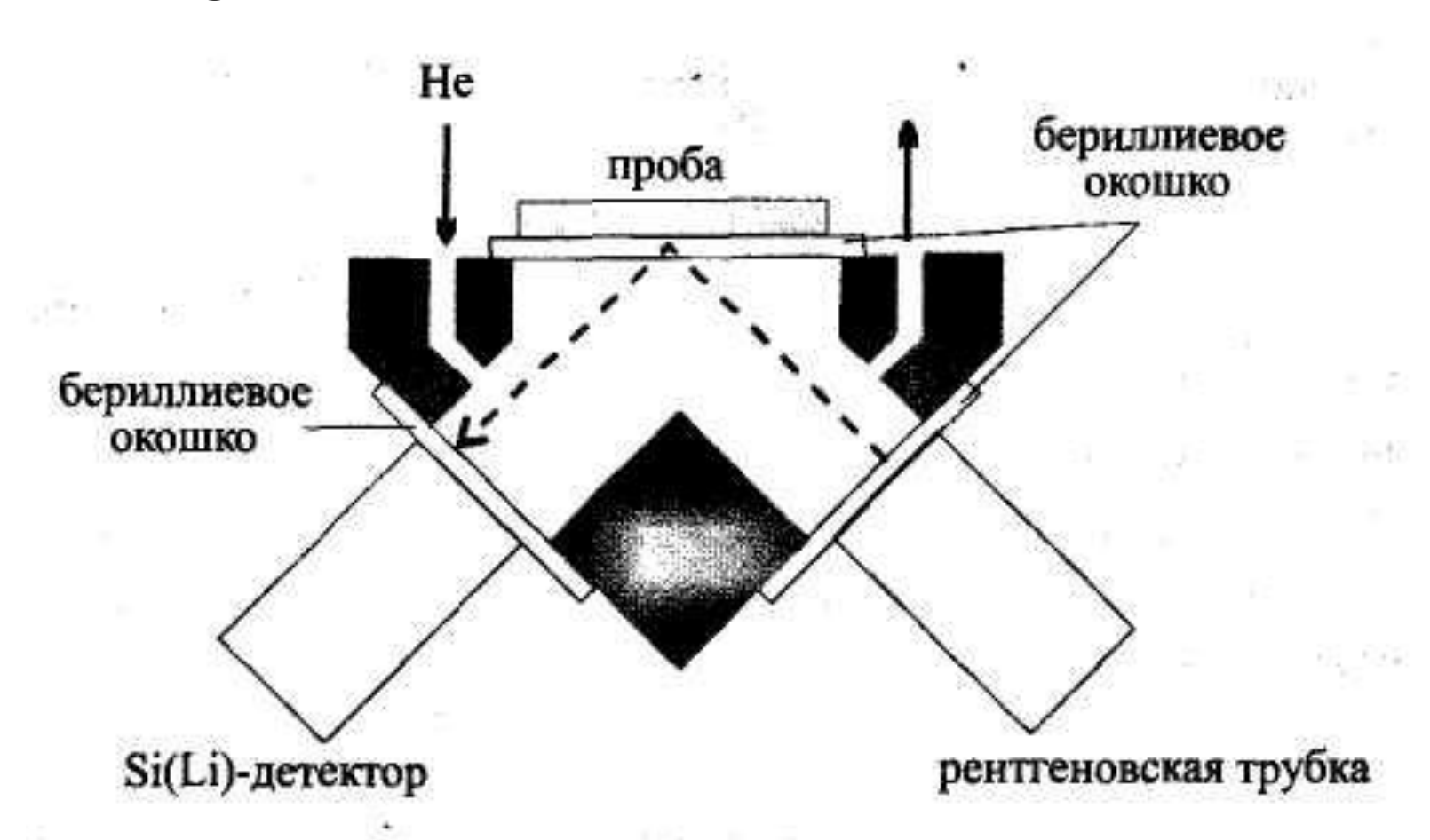
Кристаллы – анализаторы для РФА-спектрометров

Кристалл	2d, Å	N элемента в периодической системе
LiF	4,028	> 20
PG пиролитический графит	6,715	P(15), S (16), Cl (17)
РЕ (пентаэритрит)	8,742	от Al (13) до К (19) в

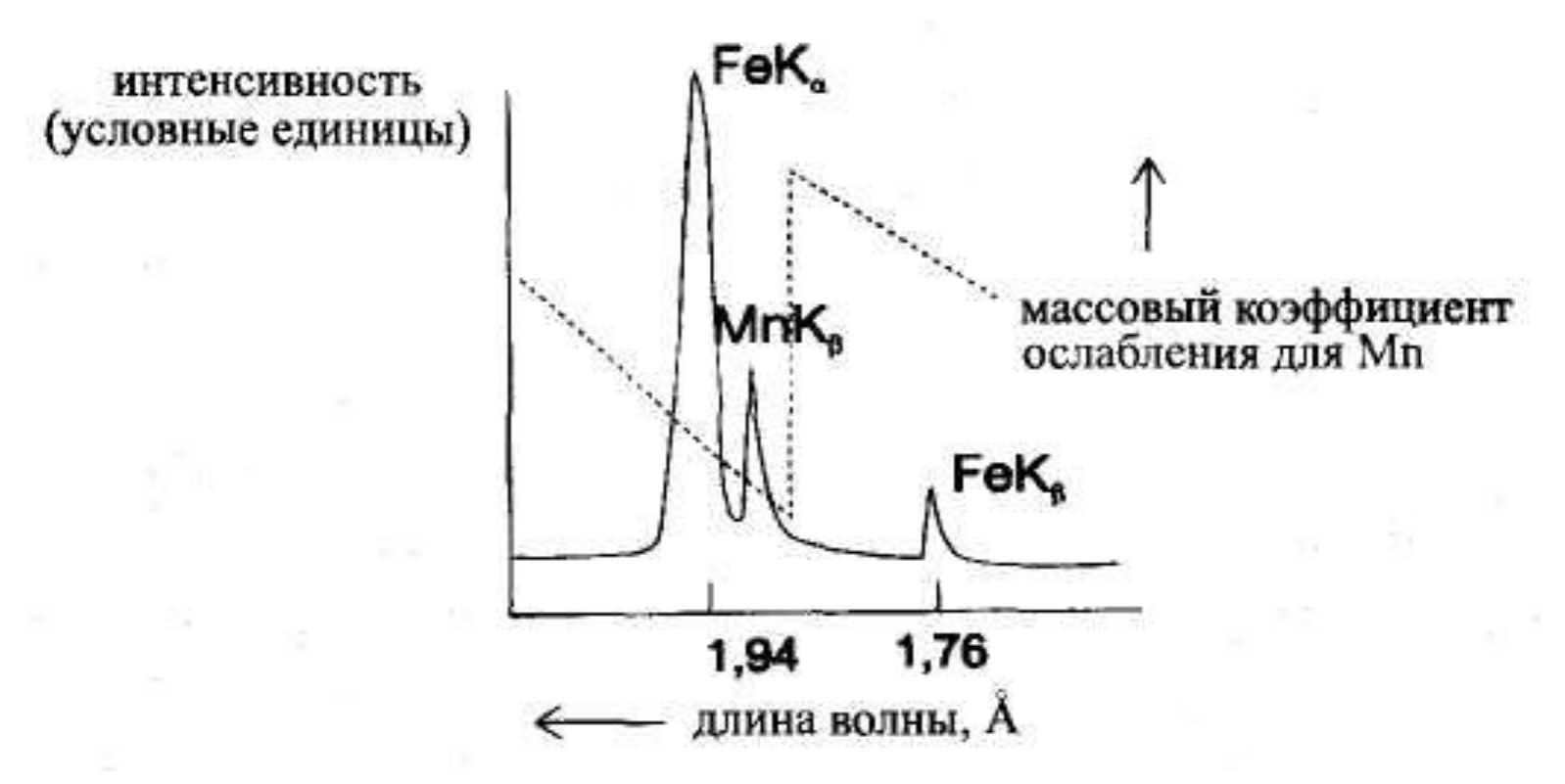
Интерференция лучей на кристалле



РФА-спектрометр с энергетической дисперсией на основе полупроводникового детектора



Ослабление линии Fe-K_β в присутствии элемента основы – марганца



Теоретически отношение интенсивности $Fe(K_{\alpha})$: $Fe(K_{\beta}) = 4:1$

67